

Statički proračun stambene zgrade

Vučetić, Tena

Undergraduate thesis / Završni rad

2022

Degree Grantor / Ustanova koja je dodijelila akademski / stručni stupanj:

University of Split, Faculty of Civil Engineering, Architecture and Geodesy / Sveučilište u Splitu, Fakultet građevinarstva, arhitekture i geodezije

Permanent link / Trajna poveznica: <https://um.nsk.hr/um:nbn:hr:123:177466>

Rights / Prava: [In copyright](#)/[Zaštićeno autorskim pravom.](#)

Download date / Datum preuzimanja: **2025-02-08**



Repository / Repozitorij:

[FCEAG Repository - Repository of the Faculty of Civil Engineering, Architecture and Geodesy, University of Split](#)



UNIVERSITY OF SPLIT



**SVEUČILIŠTE U SPLITU
FAKULTET GRAĐEVINARSTVA, ARHITEKTURE I GEODEZIJE**

ZAVRŠNI RAD

Tena Vučetić

Split, 2022

**SVEUČILIŠTE U SPLITU
FAKULTET GRAĐEVINARSTVA, ARHITEKTURE I GEODEZIJE**

Statički proračun stambene zgrade

Završni rad

Split, 2022

Statički proračun stambene zgrade

Sažetak:

U radu je prikazan statički proračun stambene zgrade. Zgrada se sastoji od prizemlja, tri etaže i ravnoga krova. Nosiva konstrukcija građevine će biti izvedena od armirano betonskih stupova, zidova i ploča.

Projekt sadrži: tehnički opis, proračun nosivih konstrukcijskih elemenata te karakteristične građevinske nacрте.

Ključne riječi:

Stambena zgrada, Statički proračun

Static calculation of apartment building

Summary:

The static design of apartment building is presented in this work. The building consist of three stories, ground floor and flat roof. Structure is made of reinforced concrete consisting of beams, walls and plates.

The work includes technical description of the structure, calculation of the main structural elements and characteristic structural plans.

Keywords:

Apartment building, Static calculation

**SVEUČILIŠTE U SPLITU
FAKULTET GRAĐEVINARSTVA, ARHITEKTURE I GEODEZIJE**

Split, Matice hrvatske 15

STUDIJ:	PREDDIPLOMSKI SVEUČILIŠNI STUDIJ GRAĐEVINARSTVA
KANDIDAT:	Tena Vučetić
BROJ STUDENTSKE ISKAZNICE:	00832231846
KATEDRA:	Katedra za teoriju konstrukcija
PREDMET:	Građevna statika 1

ZADATAK ZA ZAVRŠNI RAD

Tema: Statički proračun stambene zgrade

Opis zadatka: Na temelju zadane tlocrtne podloge, potrebno je izraditi 3-D proračunski model građevine u programu „*Scia Engineer*“. Na temelju dobivenih rezultata proračunavaju se određeni nosivi elementi zgrade.

Izrađeni projekt mora sadržavati:

- tehnički opis
- proračun
- građevne nacрте

U Splitu, rujan 2022

Voditelj Završnog rada:

Prof.dr.sc. Boris Trogrlić, dipl.ing.građ

SADRŽAJ

1. TEHNIČKI OPIS	6
1.1. Opis i konstrukcijski sastav građevine	6
1.2. Geotehnički izvještaj	6
2. 3-D PRORAČUNSKI MODEL GRAĐEVINE	7
2.1. Podaci o osnovnim djelovanjima.....	10
2.2. Stalno opterećenje (G_0).....	10
2.2.1. Vlastita težina elemenata konstrukcije	10
2.2.2. Krovna ploča.....	11
2.2.3. Međukatne ploče.....	12
2.2.4. Balkon.....	13
2.3. Promjenjivo opterećenje (Q_i)	14
3. PRIKAZ OSNOVNIH DJELOVANJA	15
3.1. Krovna ploča.....	15
3.2. Međukatna ploča.....	16
4. KOMBINACIJE DJELOVANJA	17
5. PRORAČUN PLOČA	18
5.1. Međukatna ploča.....	18
5.1.1. Prikaz modela i rezultata međukatne ploče	19
5.1.2. Kontrola progiba i pukotina međukatne ploče	24
5.1.3. Kontrola progiba međukatne ploče.....	24
5.1.4. Kontrola pukotina	26
5.2. Proračun krovne ploče	29
5.2.1. Prikaz modela i rezultata krovne ploče.....	30
5.2.2. Kontrola progiba.....	35
5.2.3. Kontrola pukotina.....	37
6. PRORAČUN ZIDOVA	40
6.1. Opći uvjeti	40
6.2. Prikaz modela i dijagrama	41
7. PRORAČUN TEMELJA	46
7.1. Proračun trakastih temelja	48
7.1.1. Model trakastih temelja	48
7.1.2. Proračun širine temeljne stope.....	49
7.1.3. Slijeganje građevine	50

1. TEHNIČKI OPIS

1.1. Opis i konstrukcijski sastav građevine

Predmet ovog završnog rada je proračun nosive konstrukcije građevine stambene namjene. Građevina se sastoji od ukupno tri etaže, pravilnog je tlocrtnog oblika –dimenzija 23,35 x 10,01 m.

Ukupna visina građevine iznosi 12,42 m, mjereno od podne ploče prizemlja.

Glavni nosivi konstrukcijski sustav sastoji se od armirano-betonskih (AB) zidova i stupova te međukatnih konstrukcija koje su izrađene od armiranog betona, lijevane na licu mjesta debljine 18cm. Ravna krovna ploča je debljine 18 cm i izvedena je od armiranog betona.

Vertikalna nosiva konstrukcija građevine su zidovi debljine 20 i 25 cm.

Temeljenje je predviđeno na trakastim temeljima od armiranog betona ispod nosivih zidova i stupova, širine 60 i 80 cm i visine 60 cm.

U proračunu su dane osnovne dimenzije armature za pojedine konstruktivne elemente.

Elementi koji se ne proračunavaju armiraju se konstruktivno.

Za sve betonske radove predviđen je beton C 25/30 , te armatura B 500B. Skidanje podupirača za ploče može se izvršiti nakon postignute minimalne čvrstoće od 80%.

Za temelje je upotrebljena klasa betona C 25/30.

Svi računalni proračuni su izvršeni u programu „Scia Engineer“. Svi ostali podaci i detalji vezani za objekt dani su kroz projektna rješenja.

1.2. Geotehnički izvještaj

Za predmetnu građevinu su izvršeni geotehnički istražni radovi.

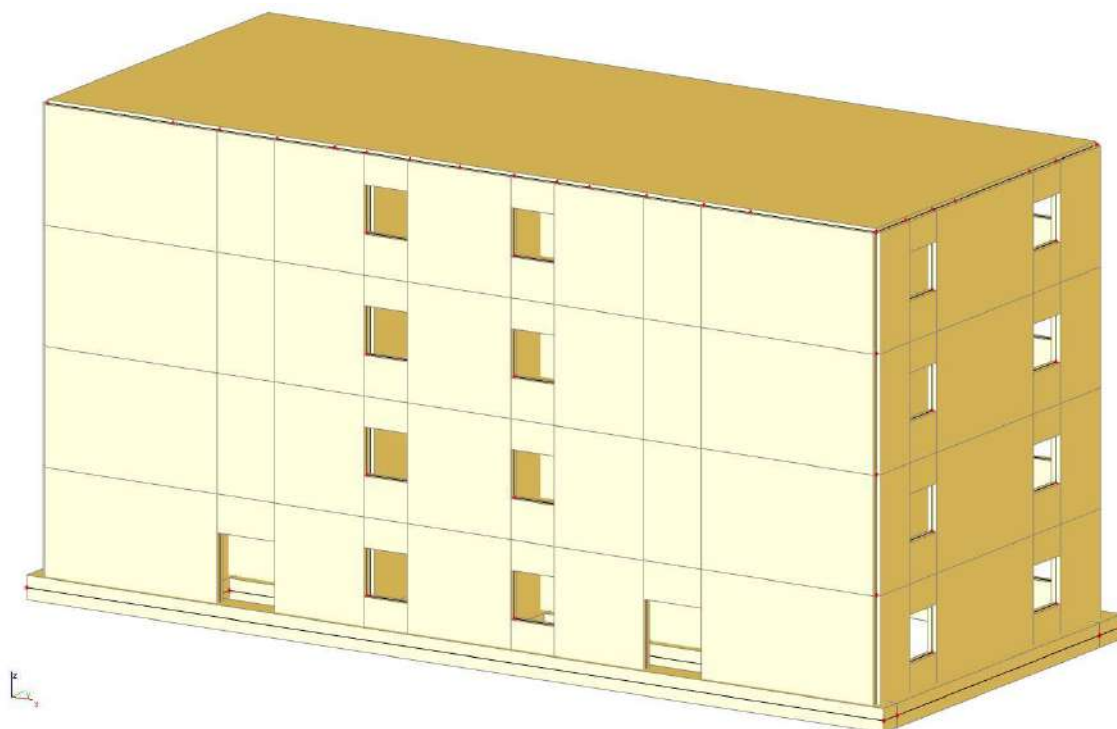
Matična stijena nalazi se na oko 85 cm od površine terena, temeljenje građevine će se izvesti na njoj. Pri završetku iskopa temeljnu plohu potrebno je ručno očistiti od ostataka razlomljenog materijala.

Nakon obavljenog čišćenja temeljne plohe potrebno je neravnine i udubine popuniti i izravnati podložnim betonom C 16/20 do projektirane kote temeljenja.

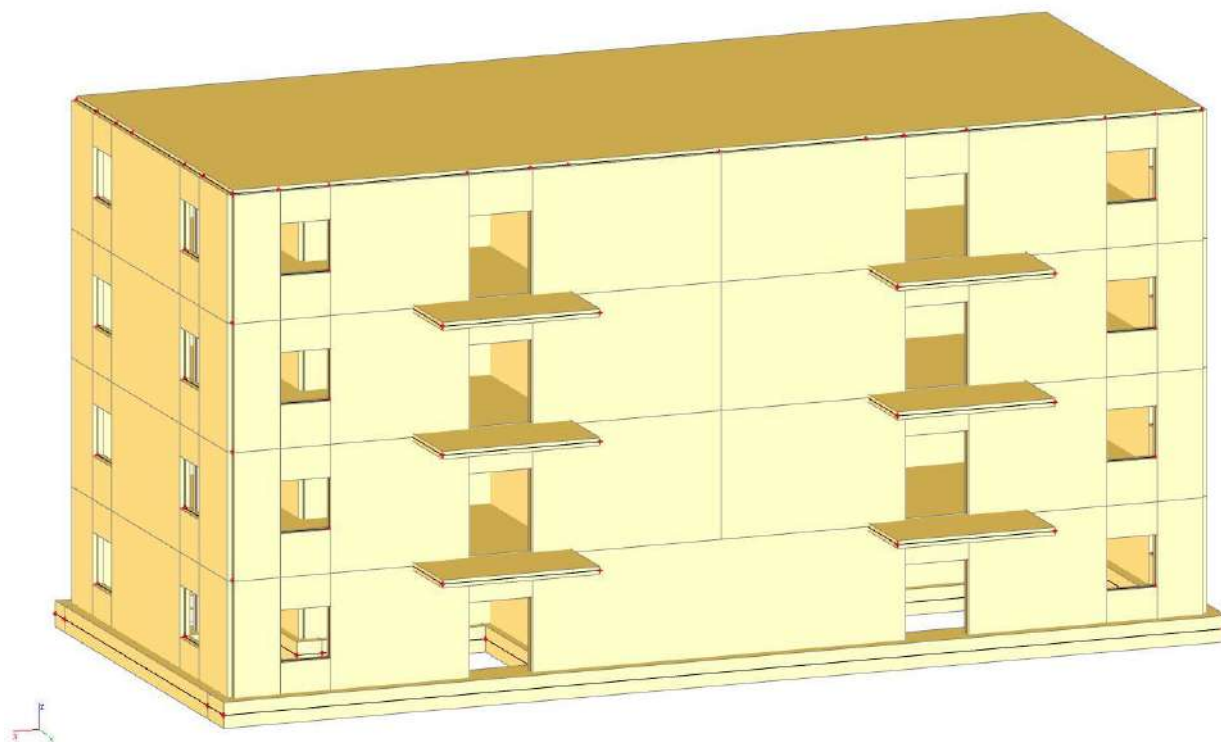
Ukoliko se naiđe na kavernu veće dubine i manje širine, a nije moguće potpuno uklanjanje materijala, sanaciju izvesti tako da se materijal ukloni do dubine 50 cm ispod kote temeljenja, a nastali prostor do projektirane kote zapuni podbetonom.

Na osnovu rezultata geotehničkih istražnih radova, dopuštena centrična naprezanja tla na detaljno očišćenim naslagama matične stijene uzeta su za osnovna opterećenja 300 kPa.

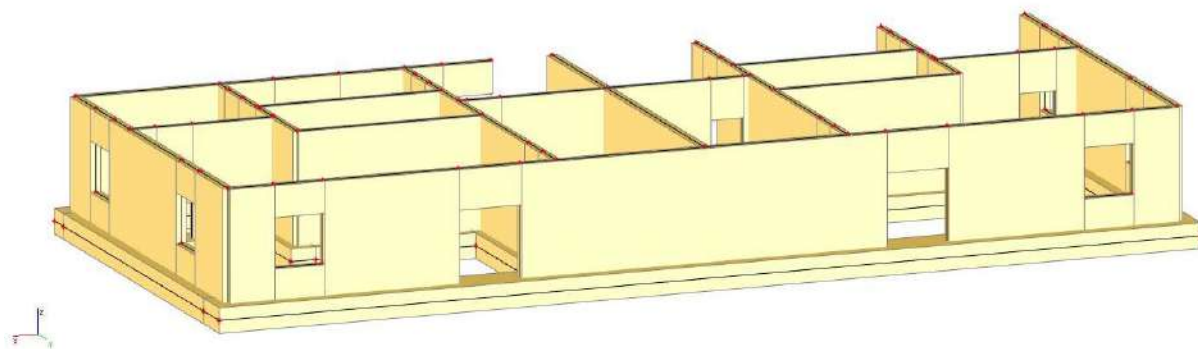
2. 3-D PRORAČUNSKI MODEL GRAĐEVINE



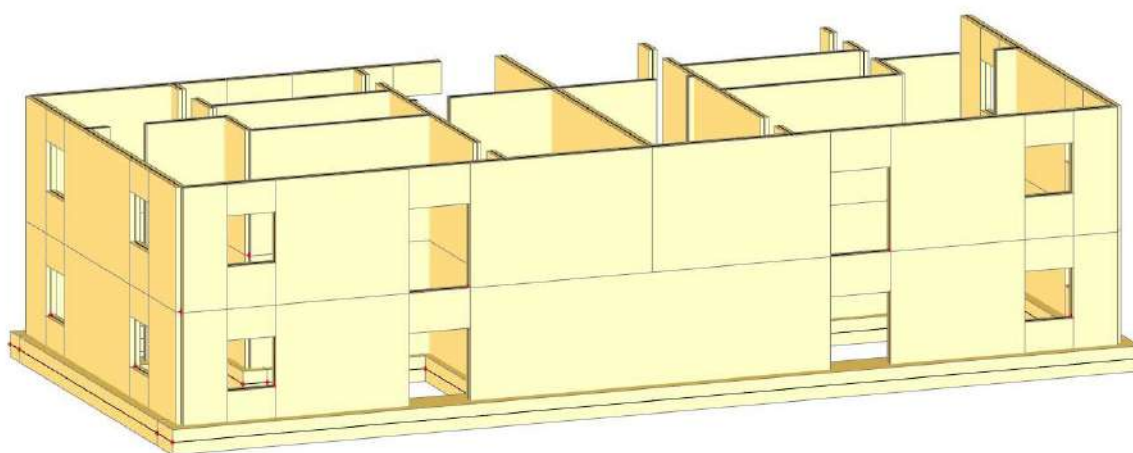
Slika 2.1 Proračunski model objekta – pogled 1



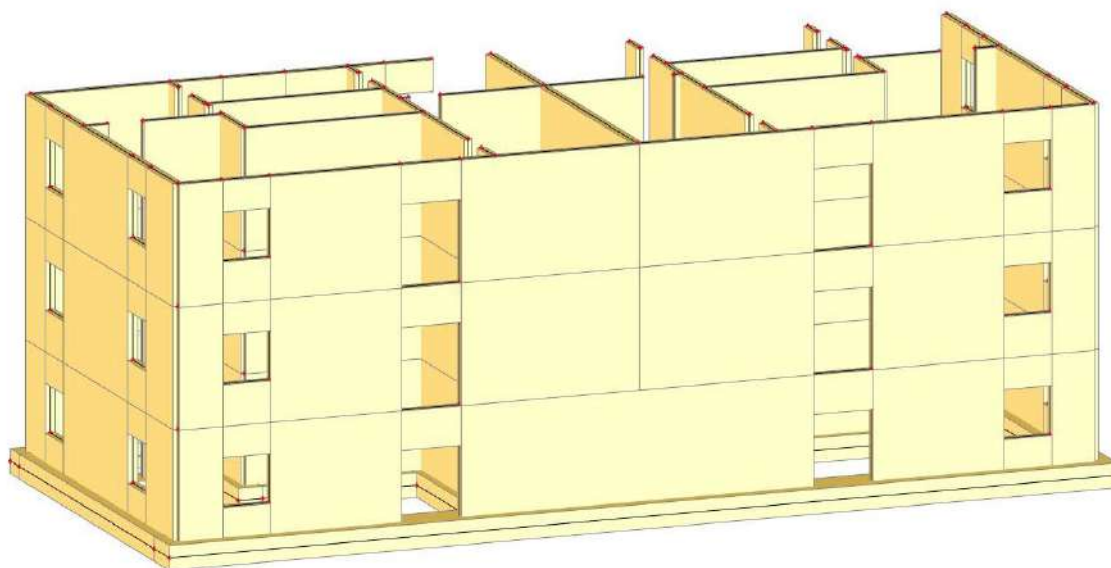
Slika 2.2 Proračunski model objekta – pogled 2



Slika 2.3 Proračunski model objekta – pogled 3



Slika 2.4 Proračunski model objekta – pogled 4



Slika 2.5 Proračunski model objekta – pogled 5

2.1. Podaci o osnovnim djelovanjima

Osnovna opterećenja, na čiji utjecaj se dokazuje mehanička otpornost i stabilnost predmetne građevine, podijeljena su:

Oznaka osnovnog djelovanja	Opis djelovanja
G0	Stalno djelovanje – vlastita težina elemenata nosive konstrukcije
G1	Dodatno stalno djelovanje – ostalo stalno djelovanje; pokrov, obloga, stalna oprema itd.
Qi	Promjenjivo – uporabno djelovanje: uporabno opterećenje, pokretna oprema.

Tablica 2.1 Podaci o osnovnim djelovanjima

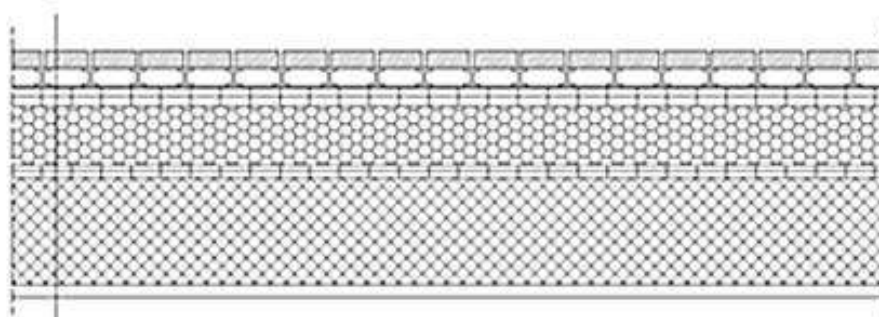
2.2. Stalno opterećenje (G₀)

2.2.1. Vlastita težina elemenata konstrukcije

Stalno opterećenje uključeno je u proračun prema sljedećem:

- Specifična težina armiranog betona iznosi $g = 25.0 \text{ kN/m}^3$.
- Stalno opterećenje od vlastite težine elemenata armirano betonske konstrukcije sadržano je u proračunskom modelu, sukladno dimenzijama poprečnih presjeka i zadanoj specifičnoj težini.

2.2.2. Krovna ploča



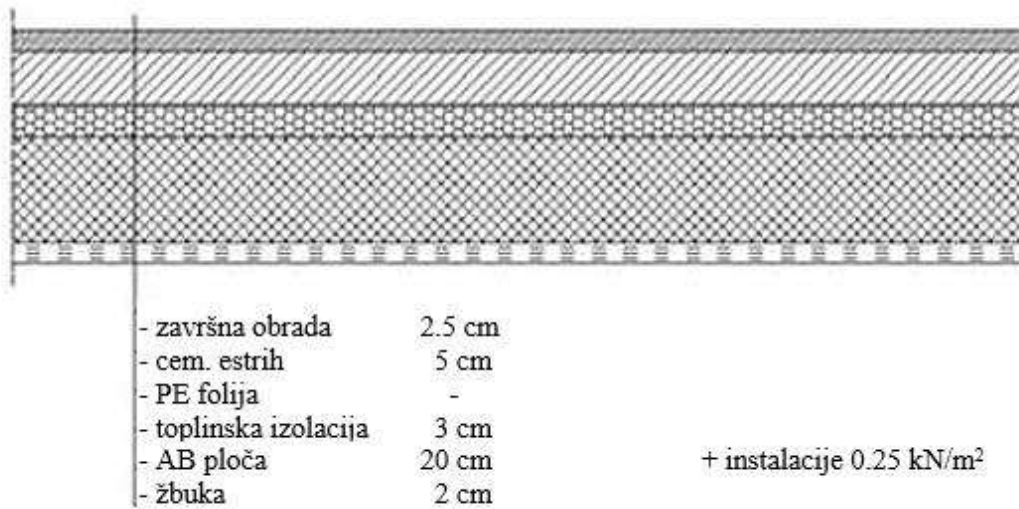
- betonska ploča	3 cm
- podmetači	3 cm
- PE folija	-
- hidroizolacija	1.5 cm
- toplinska izolacija	10 cm
- parna brana	1 cm
- AB ploča	20 cm
- žbuka	2 cm

Tablica 2.2.1 Slojevi ravnog krova

Sloj:	Debljina sloja (m):	γ (kN/m ³)	$d \times \gamma$ (kN/m ²)
Betonska ploča	0,03	25,00	0,75
Podmetači	0,03	-	-
PE folija	-	-	-
Hidroizolacija	0,015	5,90	0,09
Toplinska izolacija	0,10	1,50	0,30
Parna brana	0,01	0,15	0,0015
AB ploča	0,18	Uključena u SCIA-u	
Žbuka	0,02	19,00	0,38

Ukupno dodatno stalno opterećenje: $\Delta g = 1,52$ (kN/m²)

2.2.3. Međukatne ploče

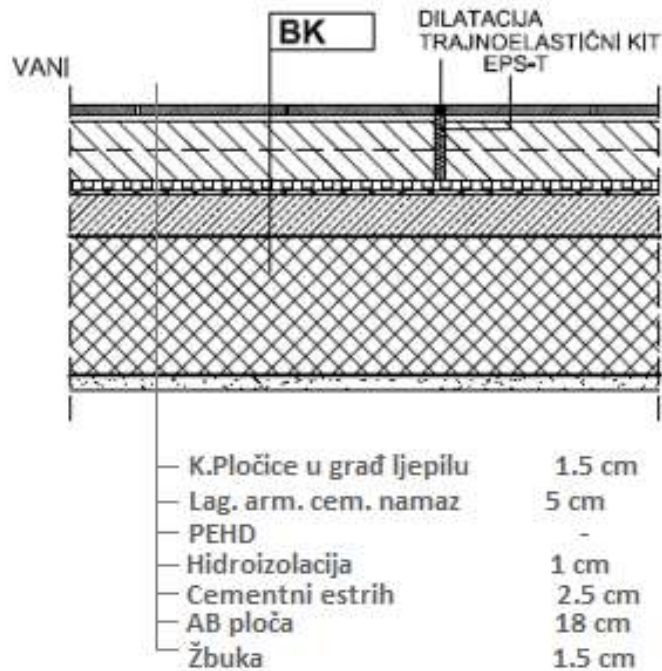


Tablica 2.2.2 Slojevi poda međukatnih konstrukcija

Sloj:	Debljina sloja (m):	γ (kN/m ³)	$d \times \gamma$ (kN/m ²)
Pregradni zidovi	0,15	3,30	0,50
Završna obrada	0,025	9,60	0,24
Cementni estrih	0,05	22,00	1,10
PE folija	-	-	-
Toplinska izolacija	0,03	2,00	0,015
AB ploča	0,18	Uključeno u SCIA-u	
Žbuka	0,02	0,02	0,38
Instalacije	-	-	0,25

Ukupno dodatno stalno opterećenje: $\Delta g = 2,50$ (kN/m²)

2.2.4. Balkon



Tablica 2.2.3 Slojevi poda balkona

Sloj:	Debljina sloja (m):	γ (kN/m ³)	$d \times \gamma$ (kN/m ²)
Keramičke pločice u građevinskom ljepilu	0,015	18,00	0,27
Lagano armirani cementni namaz	0,04	22,00	0,88
Drenažna traka s čepićima prema dolje (PEHD)	-	-	-
Hidroizolacija	0,01	10,00	0,10
Zaglađeni cementni estrih	0,013	24,0	0,32
AB ploča	0,18	Uključeno u SCIA-u	
Završna fasadna žbuka	0,015	15,00	0,23

Ukupno dodatno stalno opterećenje: $\Delta g = 1,80$ (kN/m²)

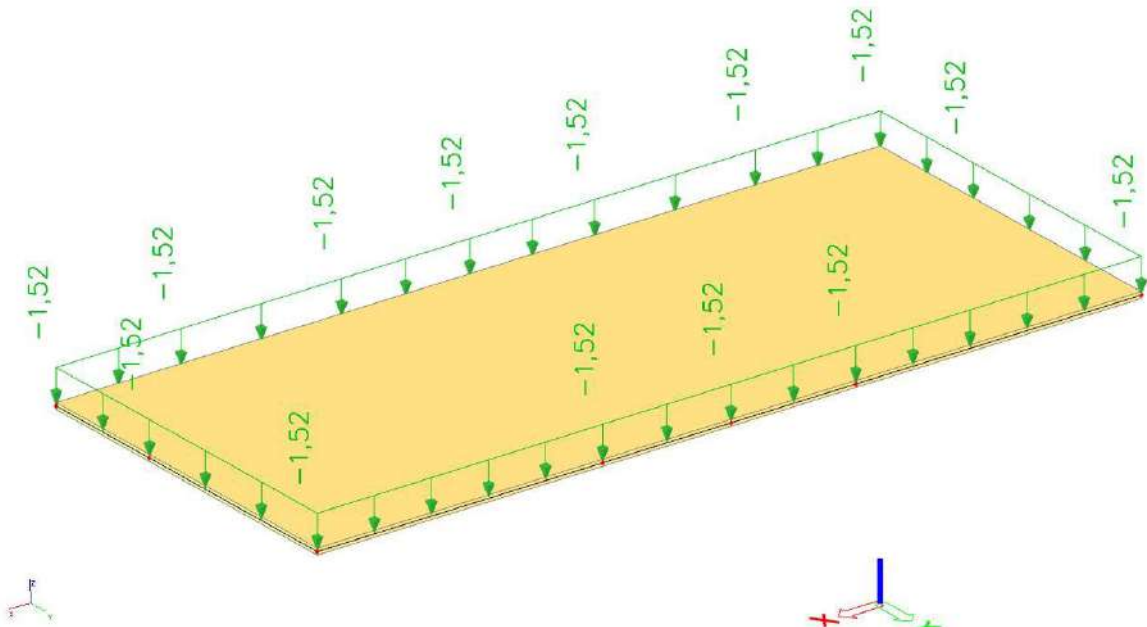
2.3. Promjenjivo opterećenje (Q_i)

Minimalno korisno opterećenje za zgrade definirano je u EC1991-1-1. Ovo korisno (pokretno) opterećenje je najmanje koje se smije primjeniti na zgradama. Na zahtjev investitora ili pri procjeni projektanta smije se koristiti i veće opterećenje. Za potrebe proračuna, a prema EC1991-1-1 korištena su sljedeća opterećenja:

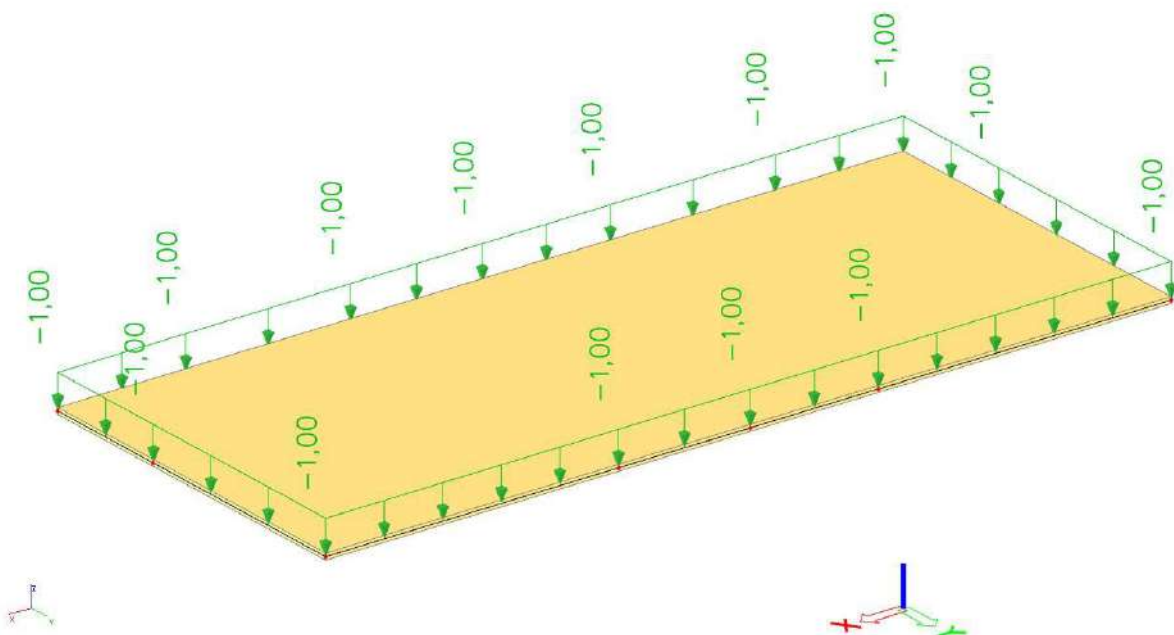
- Ravni krov: $q = 1,0 \text{ kN/m}^2$
- Poslovni prostori i stubišta: $q = 2,0 \text{ kN/m}^2$
- Balkoni i lođe: $q = 4,0 \text{ kN/m}^2$

3. PRIKAZ OSNOVNIH DJELOVANJA

3.1. Krovna ploča

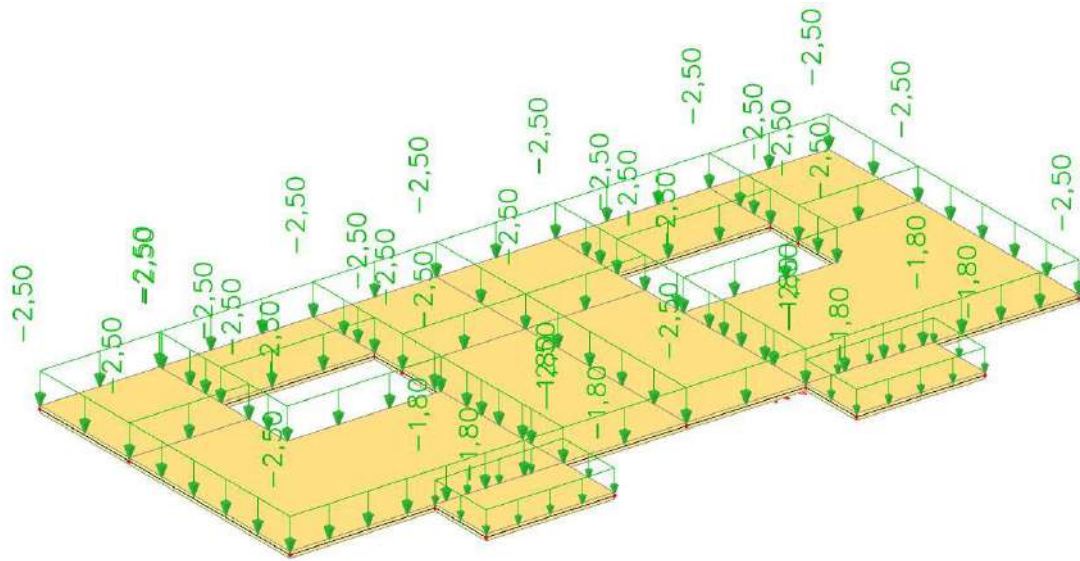


Slika 3.1.1 Dodatno stalno djelovanje G_1 [kN/m²]

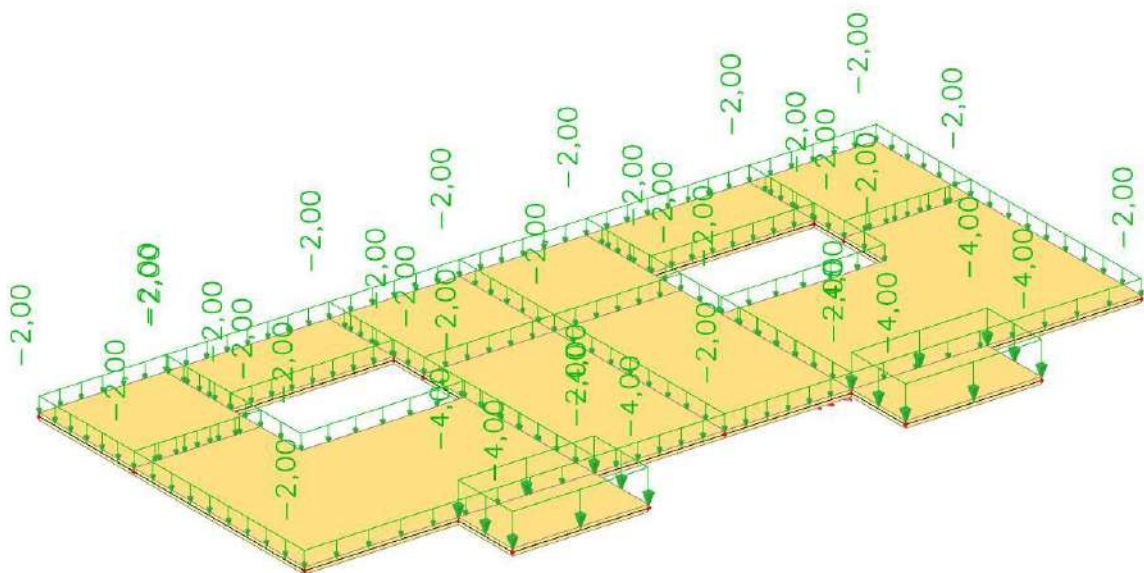


Slika 3.1.2 Promjenjivo djelovanje Q [kN/m²]

3.2. Međukatna ploča



Slika 3.2.1 Dodatno stalno djelovanje G_1 [kN/m^2]



Slika 3.2.2 Promjenjivo djelovanje Q [kN/m^2]

4. KOMBINACIJE DJELOVANJA

Za dokaz nosivosti elemenata konstrukcije predmetne građevine, djelovanja se kombiniraju za sljedeća granična stanja i iznose:

- **Granično stanje nosivosti**

$$\text{GSN-1 } 1.35 \cdot G + 1.5 \cdot Q$$

G – vlastita težina + dodatno stalno djelovanje

**vlastita težina je uračunata u programu SCIA Engineer*

Q – uporabno djelovanje

- **Granično stanje uporabljivosti**

$$\text{GSU-1 (česta kombinacija) } 1.0 \cdot G + \Psi_{1i} \cdot Q_1$$

$$1.0 \cdot G + 1.0 \cdot Q_1$$

$\Psi_{1i} = 1.0$ za promjenjiva djelovanja u stambenim zgradama za čestu kombinaciju.

Česta kombinacija se koristi za kontrolu progiba ploča i greda, te za kontrolu pukotina ploča i greda.

$$\text{GSU-2 (nazovistalna kombinacija) } 1.0 \cdot G + \Psi_{2i} \cdot Q_2$$

$$1.0 \cdot G + 1.0 \cdot Q_2$$

$\Psi_{2i} = 1.0$ za promjenjiva djelovanja u zgradama poslovne namjene za nazovistalnu kombinaciju.

Nazovistalna kombinacija se koristi za ograničenje tlačnog naprezanja u armirano betonskim elementima, te za kontrolu dugotrajnih progiba.

5. PRORAČUN PLOČA

5.1. Međukatna ploča

Limitirajući moment:

$$M_{Rd,lim} = \mu_{sd,lim} \cdot b_w \cdot d^2 \cdot f_{cd} = 0.159 \cdot 1.0 \cdot 0,155^2 \cdot 16,67 \cdot 1000 = 63,68 \text{ kNm}$$

Minimalna i maksimalna armatura:

$$A_{s,min} = 0.0015 \cdot b \cdot d = 0.0015 \cdot 100 \cdot 15,5 = 2.325 \text{ cm}^2 / m$$

$$A_{s,min} = 0.06 \cdot b \cdot \frac{d}{f_{yk}} = 0.06 \cdot 100 \cdot \frac{15,5}{500} = 1,86 \text{ cm}^2 / m$$

$$A_{s,max} = 0.31 \cdot b \cdot d \cdot \frac{f_{cd}}{f_{yd}} = 0.31 \cdot 100 \cdot 15,5 \cdot \frac{16,67}{434.80} = 18,42 \text{ cm}^2 / m$$

Za proračun armature usvaja se $\zeta \approx 0.9$, potrebna armatura :

$$A_{s1} = \frac{M_{Ed}}{\zeta \cdot d \cdot f_{yd}} = \frac{M_{Ed} \cdot 100}{0.9 \cdot 15,5 \cdot 43.48} = M_{Ed} \cdot 0.165$$

Računska nosivost na poprečnu silu bez poprečne armature :

$$V_{Rd,c} = \left[C_{Rdc} \cdot k \cdot (100 \cdot \rho_l \cdot f_{ck})^{1/3} + k_1 \cdot \vartheta_{cp} \right] \cdot b_w \cdot d$$

$$k = 1.0 + \sqrt{\frac{200}{d}} = 1.0 + \sqrt{\frac{200}{155}} = 2.14 \leq 2.0 \rightarrow k = 2.0$$

$$k_1 = 0.15$$

$$\vartheta_{cp} = \frac{N_{Ed}}{A_c} = 0.0$$

$$C_{Rdc} = \frac{0.18}{\gamma_c} = \frac{0.18}{1.5} = 0.12$$

$$\rho_l = \frac{\sum A_s}{A_c} = \frac{3,85}{15,5 \cdot 100} = 0.0025$$

$$V_{Rd,c} = \left[0.12 \cdot 2.0 \cdot (100 \cdot 0.0025 \cdot 25)^{1/3} + 0.15 \cdot 0.0 \right] \cdot 1000 \cdot 155$$

$$V_{Rd,c} = 68,52 \text{ kN/m}$$

$$V_{Rd,c,min} = \left[v_{min} + k_1 \cdot \vartheta_{cp} \right] \cdot b_w \cdot d$$

$$k = 0.15$$

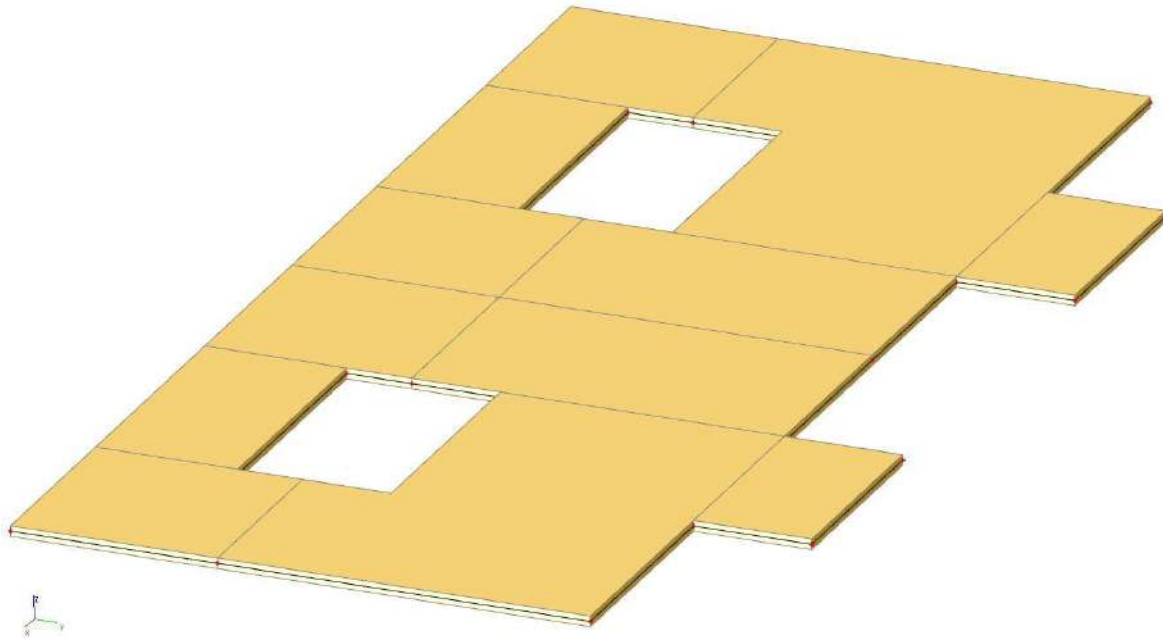
$$v_{min} = 0.035 \cdot k^{3/2} \cdot f_{ck}^{1/2} = 0.035 \cdot 2.0^{3/2} \cdot 25^{1/2} = 0.495$$

$$\vartheta_{cp} = \frac{N_{Ed}}{A_c} = 0.0$$

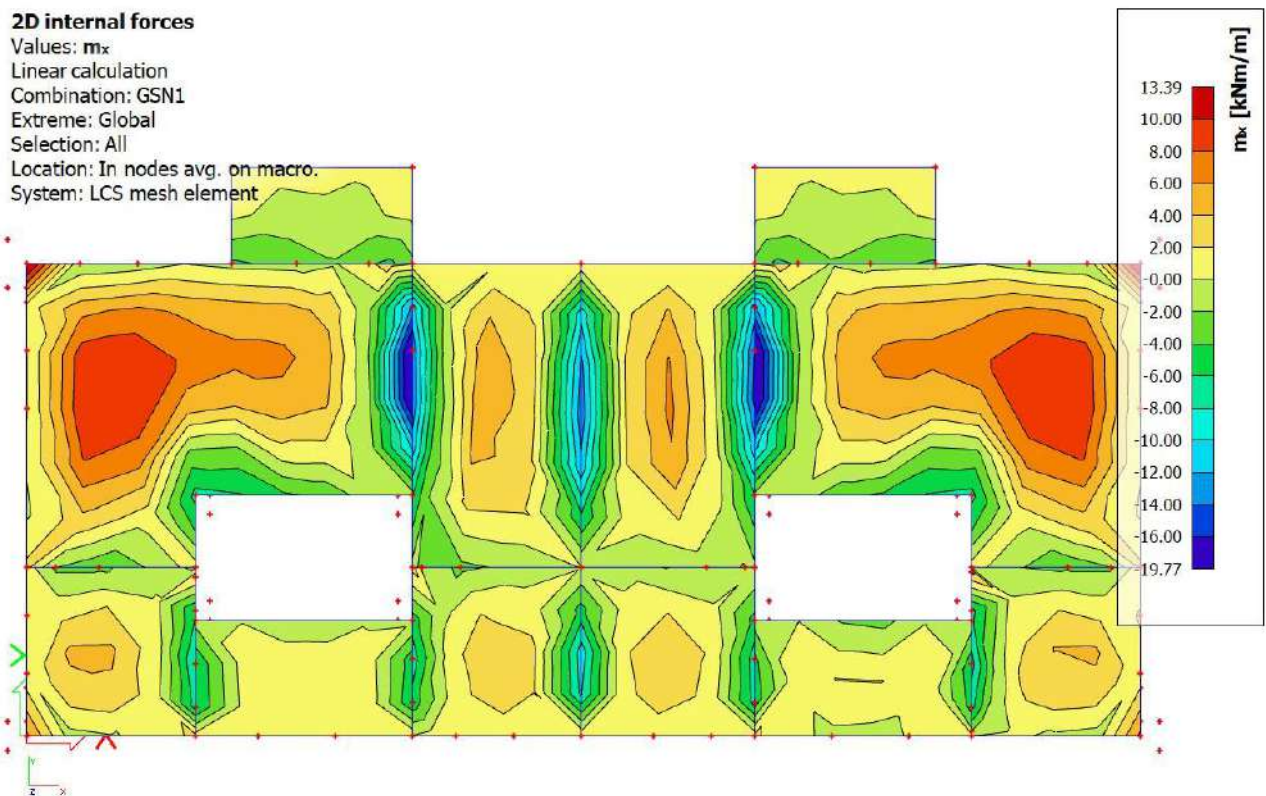
$$V_{Rd,c,min} = 0.495 \cdot 1000 \cdot 155 = 76,725 \text{ kN/m}$$

Uvjet je zadovoljen.

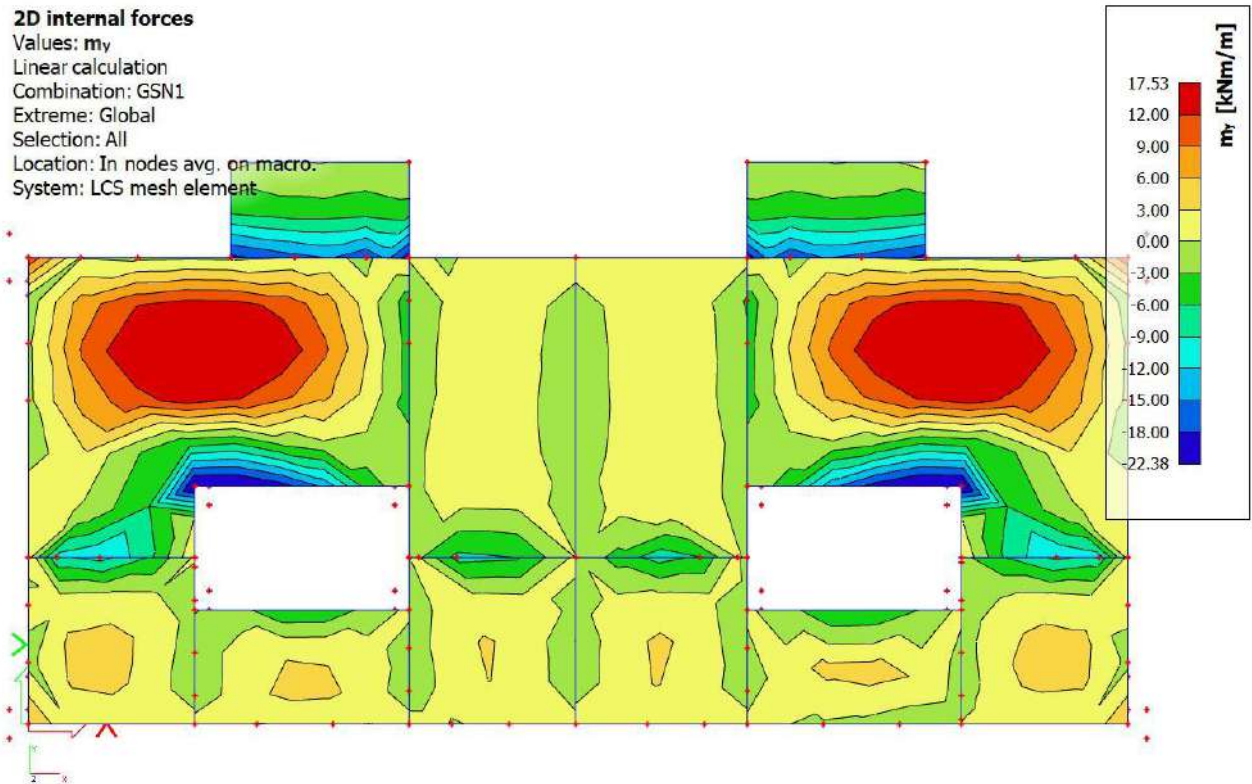
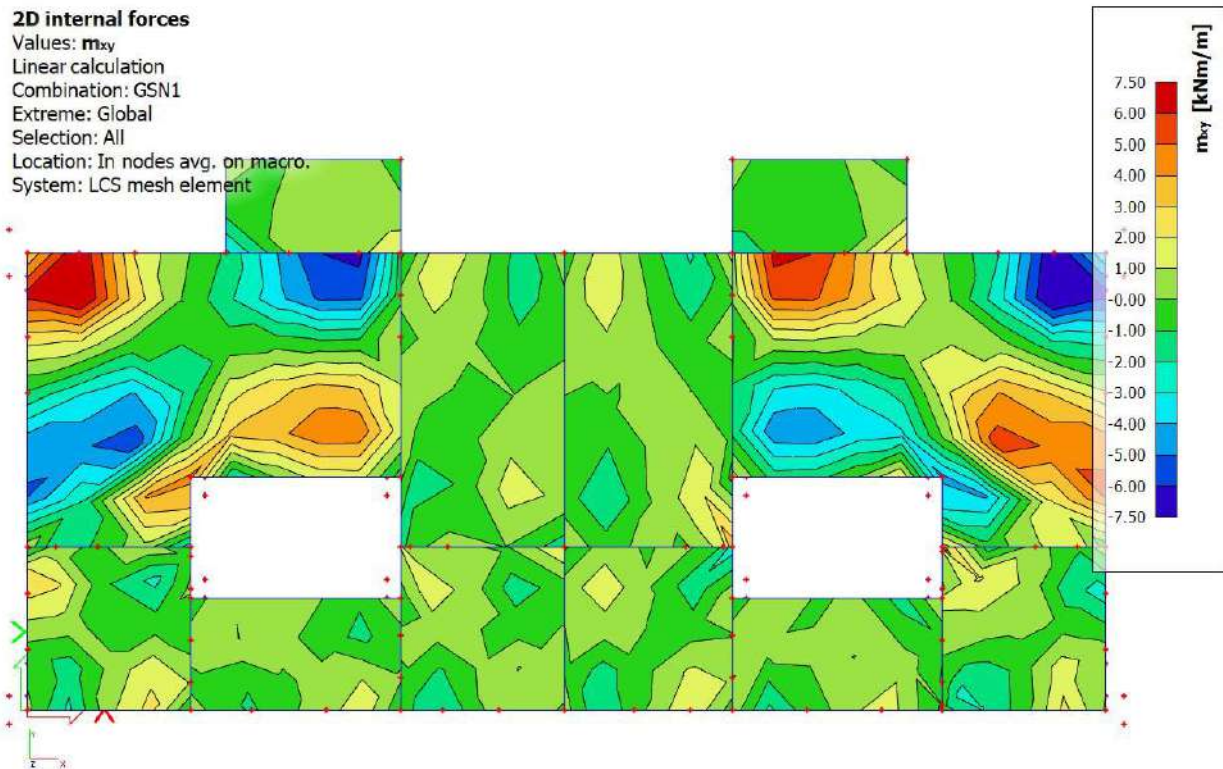
5.1.1. Prikaz modela i rezultata međukatne ploče

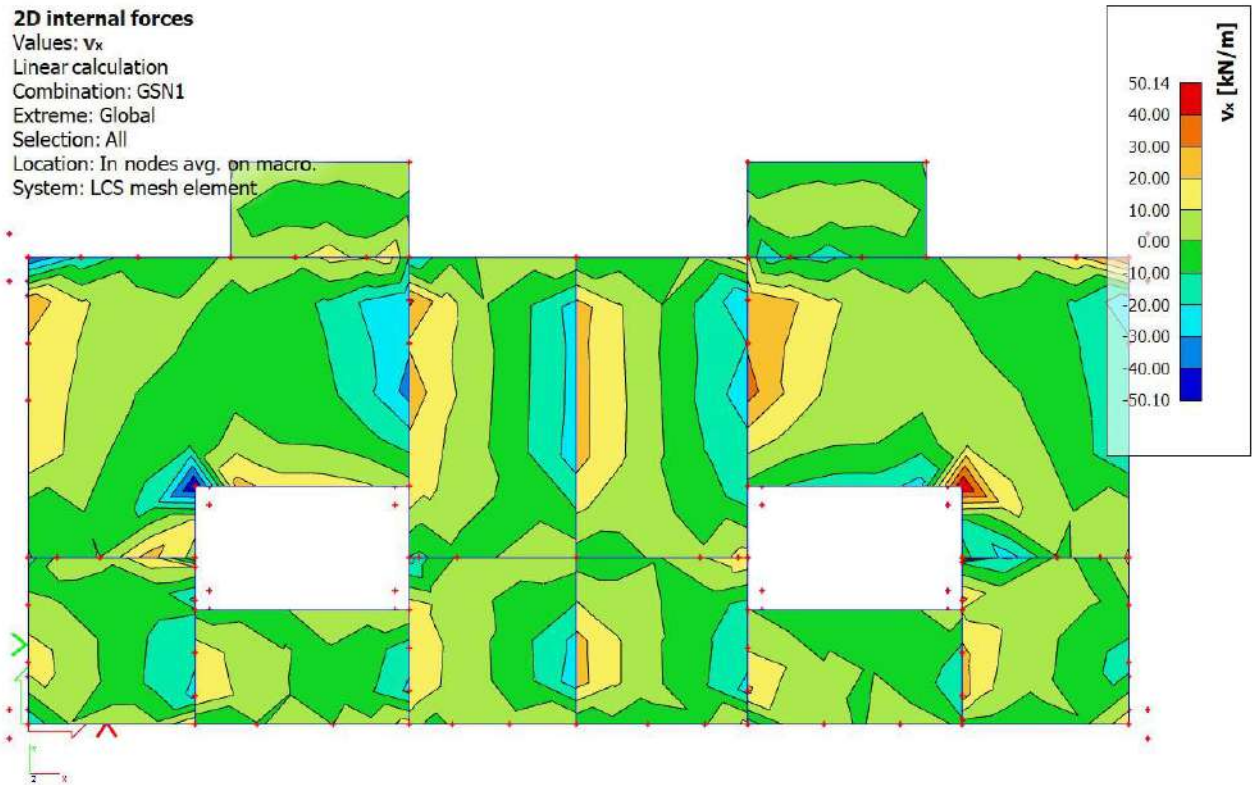
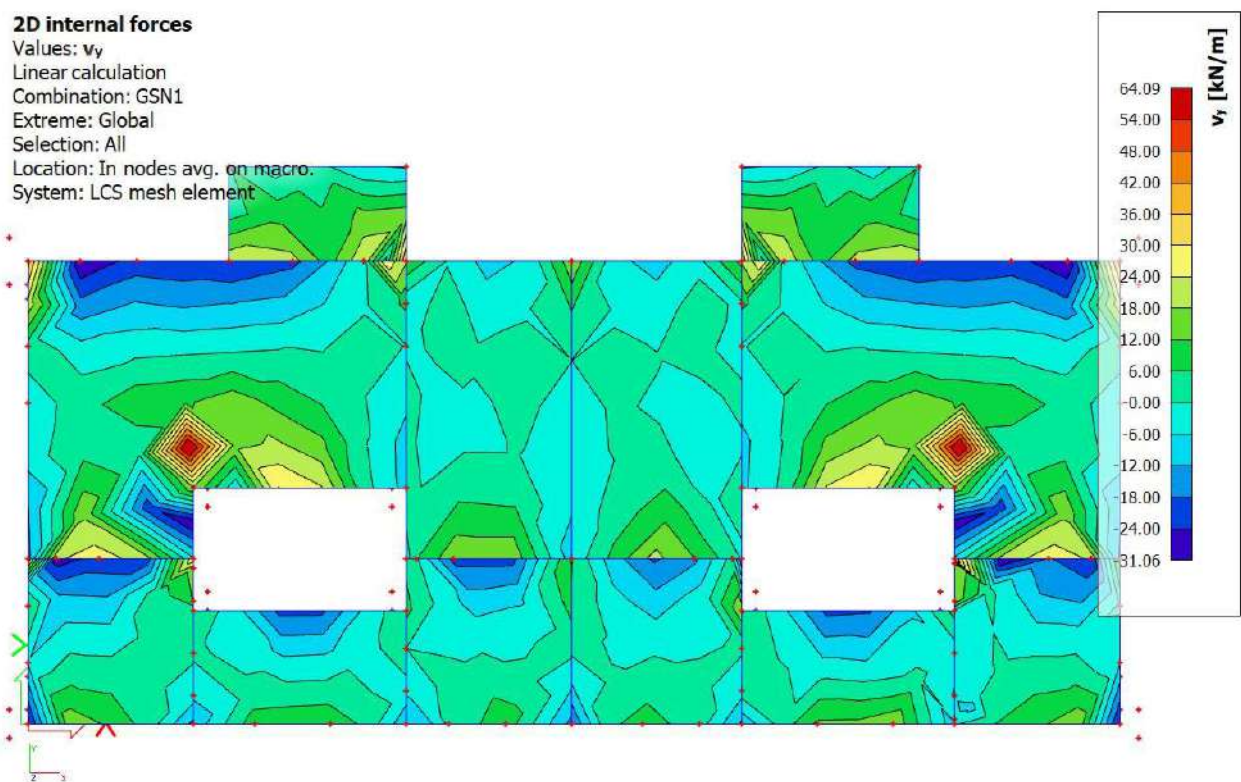


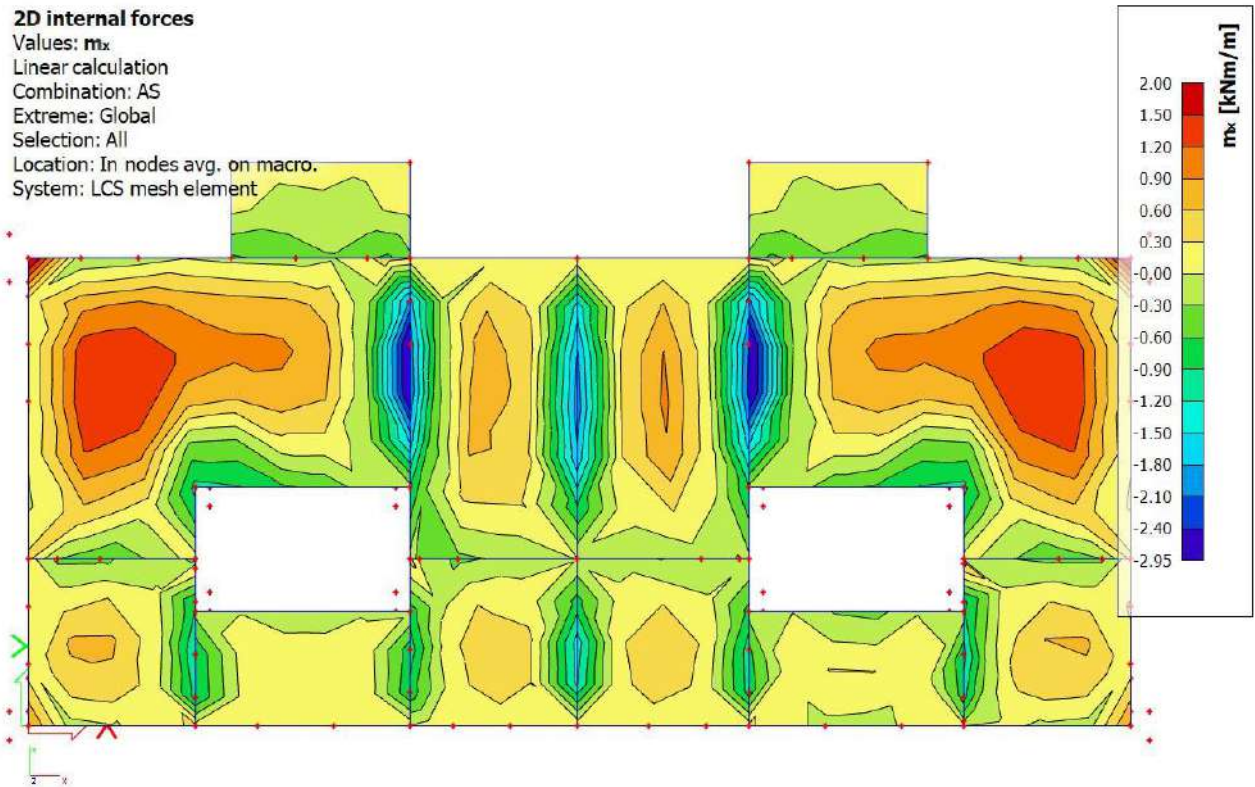
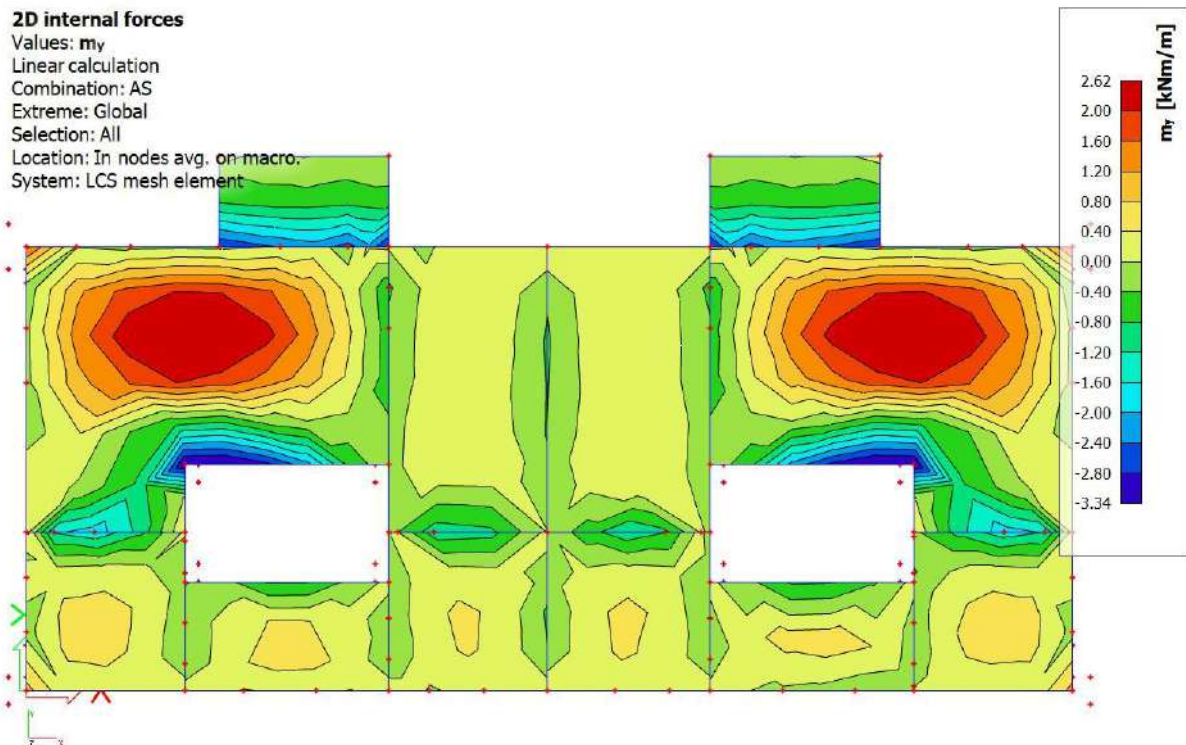
Slika 5.1 Prikaz modela ploče



Slika 5.2 Moment savijanja $M_{Ed,x}$ (kNm/m) za GSN-1

Slika 5.3 Moment savijanja $M_{Ed,y}$ (kNm/m) za GSN-1Slika 5.4 Moment savijanja $M_{Ed,xy}$ (kNm/m) za GSN-1

Slika 5.5 Poprečne sile $V_{Ed,x}$ (kN/m) za GSN-1Slika 5.6 Poprečne sile $V_{Ed,y}$ (kN/m) za GSN-1

Slika 5.7 Potrebna površina armature $A_s(\text{cm}^2/\text{m})$ u x smjeruSlika 5.8 Potrebna površina armature $A_s(\text{cm}^2/\text{m})$ u y smjeru

Napomena: Dobivenu armaturu zbog preraspodjele umanjiti za 15% nad ležajem i povećati za 30% u polju.

Potrebna armatura na ležaju: $A_s = 3,34 \times 0,85 = 2,84 \text{ cm}^2 / \text{m}'$

Potrebna armatura u polju: $A_s = 2,62 \times 1,30 = 3,41 \text{ cm}^2 / \text{m}'$

Odabrana armatura

Ležaj: Q-335 ($3,35 \text{ cm}^2 / \text{m}'$)

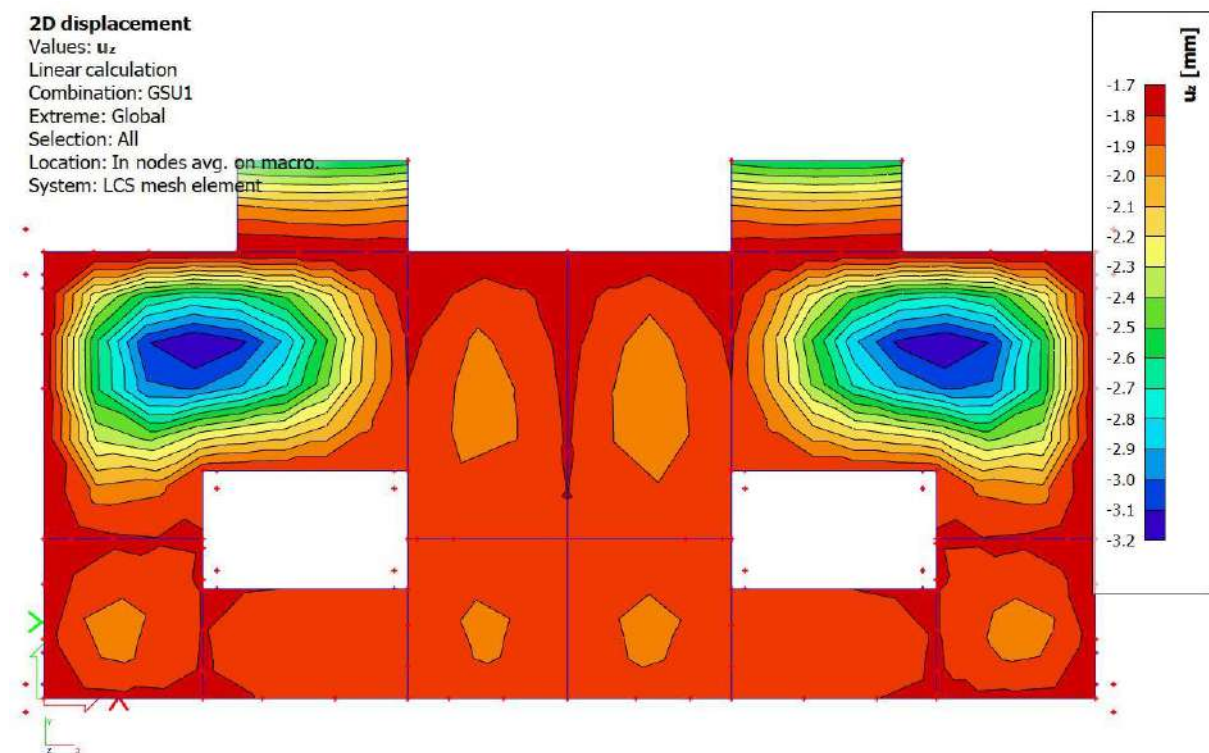
Polje: Q-385 ($3,85 \text{ cm}^2 / \text{m}'$)

5.1.2. Kontrola progiba i pukotina međukatne ploče

S obzirom da je model građevine modeliran na temeljnom tlu realnih karakteristika cijela građevina će imate pomake određenih vrijednosti, pa tako i međukatne ploče. Zbog nemogućnosti prikazivanja relativnih pomaka ploča bit će prikazani ukupni pomaci ploča koji nisu mjerodavni za analizu.

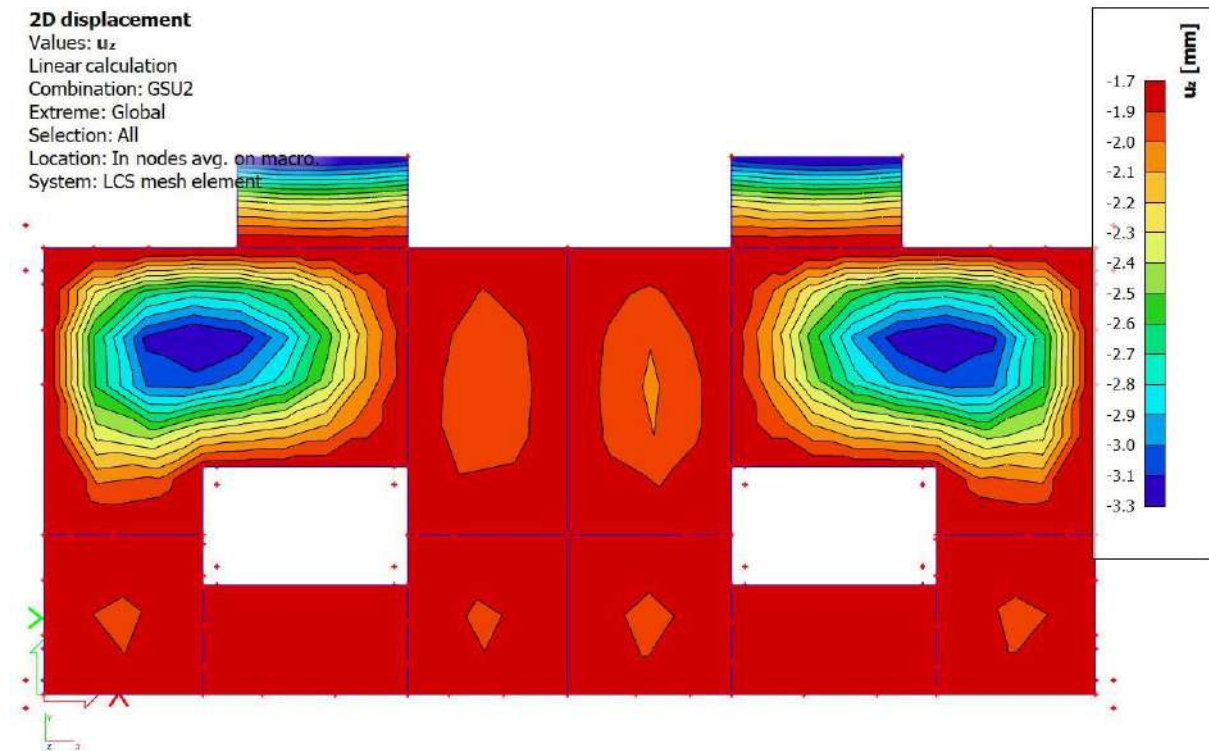
Kako bismo dobili pomake koji će prikazat pravo ponašanje ploče od ukupnih pomaka oduzet ćemo translacijsku komponentu pomaka, te na taj način dobivamo deformacijsku komponentu pomaka koja će se analizirati.

5.1.3. Kontrola progiba međukatne ploče



Slika 5.9 Progib ploče (mm) za kombinaciju GSU-1

Najveći progib iznosa je $3.2 - 1.7 = 1.5$ mm.
 Dozvoljen progib $L/1000 = 4800/1000 = 4,8$ mm
 Međukatna ploča zadovoljava na progibe.



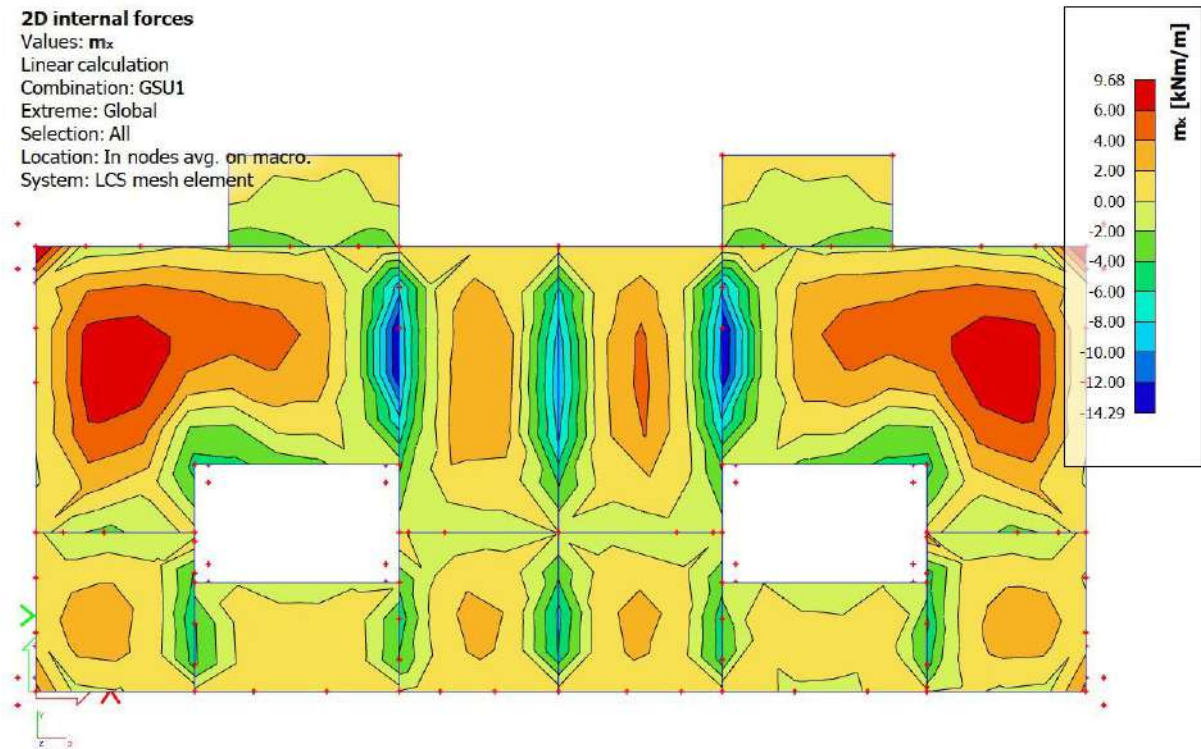
Slika 5.10 Progib ploče (mm) za kombinaciju GSU-2

Najveći progib iznosa je $3.3 - 1.7 = 1,6$ mm.
 Dozvoljen progib $L/1000 = 4800/1000 = 4,8$ mm
 Međukatna ploča zadovoljava na progibe.

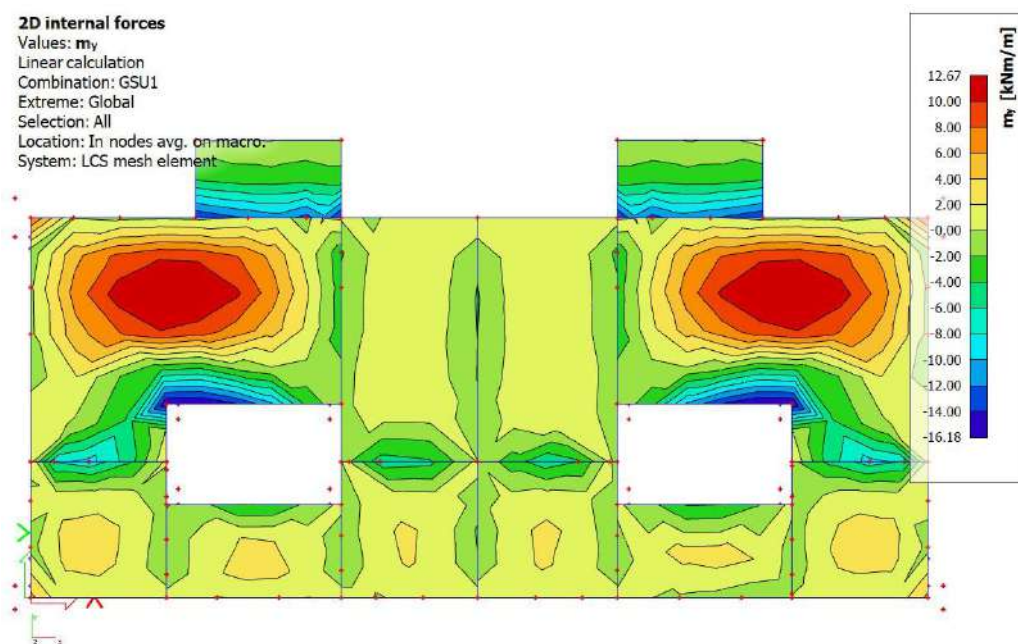
Oduzimanjem translacijske komponente pomaka dobivamo komponentu koja je se analizira odnosno provjerava je li zadovoljava dozvoljene granice.
 Kod 3-D modela koji su modelirani sa realnim karakteristikama tla bilo bi poželjno napraviti poseban model ploče karakteristične etaže.

5.1.4. Kontrola pukotina

U priložena dva dijagrama odabire se najveći moment savijanja koji će biti mjerodavan izračunu širine pukotine.



Slika 5.11 Moment savijanja $M_{Ed,x}$ (kNm/m) za GSU-1



Slika 5.12 Moment savijanja $M_{Ed,y}$ (kNm/m) za GSU-1

Mjerodavni moment $M = 12,67 \text{ kNm/m}$

Prognozna širina pukotine:

$$w_k = s_{r,max} \cdot (\varepsilon_{sm} - \varepsilon_{cm})$$

Vrijednost $\varepsilon_{sm} - \varepsilon_{cm}$ određuje se prema izrazu :

$$\varepsilon_{sm} - \varepsilon_{cm} = \frac{\sigma_s - k_t \frac{f_{ct,eff}}{\rho_{p,eff}} (1 + \alpha_\varepsilon \cdot \rho_{p,eff})}{E_s} \geq 0.6 \cdot \frac{\sigma_s}{E_s}$$

$$x = \frac{\alpha_{\varepsilon 1} \cdot A_{s1}}{b} \cdot \left(-1 + \sqrt{1 + \frac{2 \cdot b \cdot d}{\alpha_{\varepsilon 1} \cdot A_{s1}}} \right) = \frac{6.45 \cdot 3.85}{100} \cdot \left(-1 + \sqrt{1 + \frac{2 \cdot 100 \cdot 15,5}{6.45 \cdot 3.85}} \right) = 2.54 \text{ cm}$$

$$\sigma_s = \frac{M_{Ed}}{z \cdot A_s} \approx \frac{M_{Ed}}{\left(d - \frac{x}{3}\right) \cdot A_s} = \frac{1267}{\left(15.5 - \frac{2.54}{3}\right) \cdot 3.85} = 22.46 \frac{\text{kN}}{\text{cm}^2} = 224.58 \text{ MPa}$$

Za C 25/30 $\rightarrow f_{ct,eff} = 2.6 \text{ MPa}$

$A_{s1} = Q - 424 = 4,24 \text{ cm}^2$

$E_{cm} = 31.0 \text{ GPa} = 31\,000 \text{ MPa}$ – modul elastičnosti betona

$E_s = 200.0 \text{ GPa} = 200\,000 \text{ MPa}$ – modul elastičnosti armature

$\alpha_e = \frac{E_s}{E_{cm}} = \frac{200}{31} = 6.45$ – Odnos modula elastičnosti

Djelotvorni koeficijent armiranja glavnom vlačnom armaturom:

$$\rho_{p,eff} = \frac{A_s}{A_{c,eff}} = \frac{3.85}{100 \cdot (2.5 \cdot 2.5)} = 0.0062$$

$$\varepsilon_{sm} - \varepsilon_{cm} = \frac{224.58 - 0.4 \frac{2.6}{0.0062} (1 + 6.45 \cdot 0.0062)}{200000} \geq 0.6 \cdot \frac{224.58}{200000}$$

$$-0.00025 \geq 0.00067$$

$$\varepsilon_{sm} - \varepsilon_{cm} = 0.00067$$

Srednji razmak pukotina:

$$s_{r,max} = k_3 \cdot c + k_1 \cdot k_2 \cdot k_4 \cdot \frac{\emptyset}{\rho_{p,eff}} [mm]$$

$\emptyset = 7.0$ mm –promjer šipke

$c = 20$ mm – Zaštitni sloj uzdužne armature

$k_1 = 0.8$ – Rebrasta armatura

$k_2 = 0.5$ – Savijanje

$k_3 = 3.4$

$k_4 = 0.425$

$$s_{r,max} = 3.4 \cdot 20 + 0.8 \cdot 0.5 \cdot 0.425 \cdot \frac{7}{0.0062} = 260 \text{ mm}$$

Karakteristična širina pukotina:

$$w_k = s_{r,max} \cdot (\varepsilon_{sm} - \varepsilon_{cm}) = 260 \cdot 0.00067 = 0.17 \text{ mm} < w_g = 0.3 \text{ mm}$$

Pukotine zadovoljavaju!

5.2. Proračun krovne ploče

Limitirajući moment:

$$M_{Rd,lim} = \mu_{Sd,lim} \cdot b_w \cdot d^2 \cdot f_{cd} = 0.159 \cdot 1.0 \cdot 0,155^2 \cdot 16,67 \cdot 1000 = 63,68 \text{ kNm}$$

Minimalna i maksimalna armatura:

$$A_{s,min} = 0.0015 \cdot b \cdot d = 0.0015 \cdot 100 \cdot 15.5 = 2.325 \text{ cm}^2 / m$$

$$A_{s,min} = 0.06 \cdot b \cdot \frac{d}{f_{yk}} = 0.06 \cdot 100 \cdot \frac{15.5}{500} = 1,86 \text{ cm}^2 / m$$

$$A_{s,max} = 0.31 \cdot b \cdot d \cdot \frac{f_{cd}}{f_{yd}} = 0.31 \cdot 100 \cdot 15.5 \cdot \frac{16.67}{434.80} = 18.42 \text{ cm}^2 / m$$

Za proračun armature usvaja se $\zeta \approx 0.9$, potrebna armatura :

$$A_{s1} = \frac{M_{Ed}}{\zeta \cdot d \cdot f_{yd}} = \frac{M_{Ed} \cdot 100}{0.9 \cdot 15.5 \cdot 43.48} = M_{Ed} \cdot 0.165$$

Računska nosivost na poprečnu silu bez poprečne armature :

$$V_{Rd,c} = \left[C_{Rdc} \cdot k \cdot (100 \cdot \rho_l \cdot f_{ck})^{1/3} + k_1 \cdot \vartheta_{cp} \right] \cdot b_w \cdot d$$

$$k = 1.0 + \sqrt{\frac{200}{d}} = 1.0 + \sqrt{\frac{200}{155}} = 2.14 \leq 2.0 \rightarrow k = 2.0$$

$$k_1 = 0.15$$

$$\vartheta_{cp} = \frac{N_{Ed}}{A_c} = 0.0$$

$$C_{Rdc} = \frac{0.18}{\gamma_c} = \frac{0.18}{1.5} = 0.12$$

$$\rho_l = \frac{\sum A_s}{A_c} = \frac{3,85}{15.5 \cdot 100} = 0.0025$$

$$V_{Rd,c} = \left[0.12 \cdot 2.0 \cdot (100 \cdot 0.0025 \cdot 25)^{1/3} + 0.15 \cdot 0.0 \right] \cdot 1000 \cdot 155$$

$$V_{Rd,c} = 68,52 \text{ kN/m}$$

$$V_{Rd,c,min} = \left[v_{min} + k_1 \cdot \vartheta_{cp} \right] \cdot b_w \cdot d$$

$$k_1 = 0.15$$

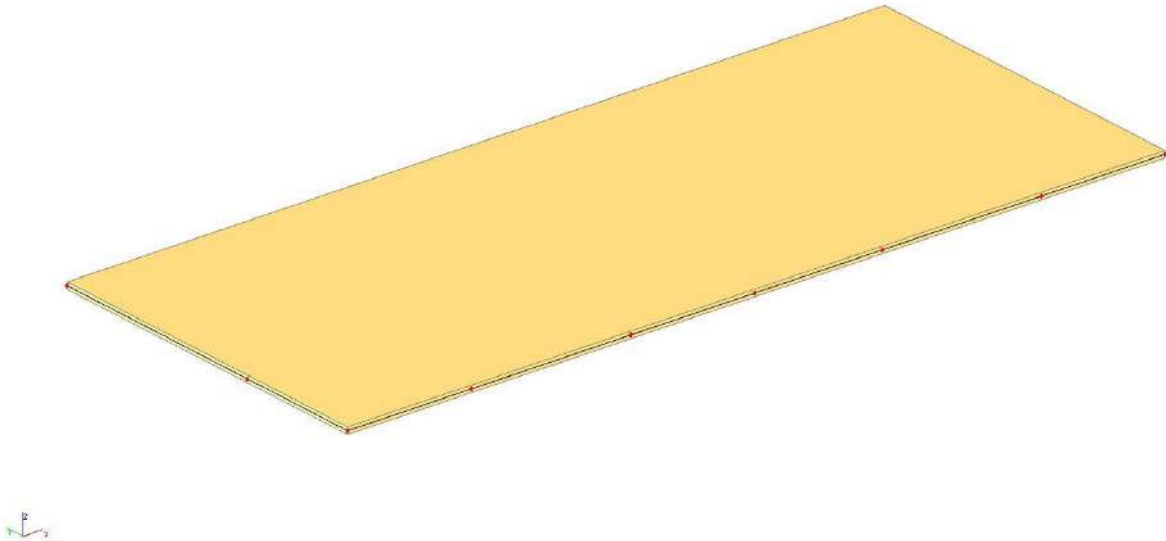
$$v_{min} = 0.035 \cdot k^{3/2} \cdot f_{ck}^{1/2} = 0.035 \cdot 2.0^{3/2} \cdot 25^{1/2} = 0.495$$

$$\vartheta_{cp} = \frac{N_{Ed}}{A_c} = 0.0$$

$$V_{Rd,c,min} = 0.495 \cdot 1000 \cdot 155 = 76.725 \text{ kN/m}$$

Uvjet je zadovoljen.

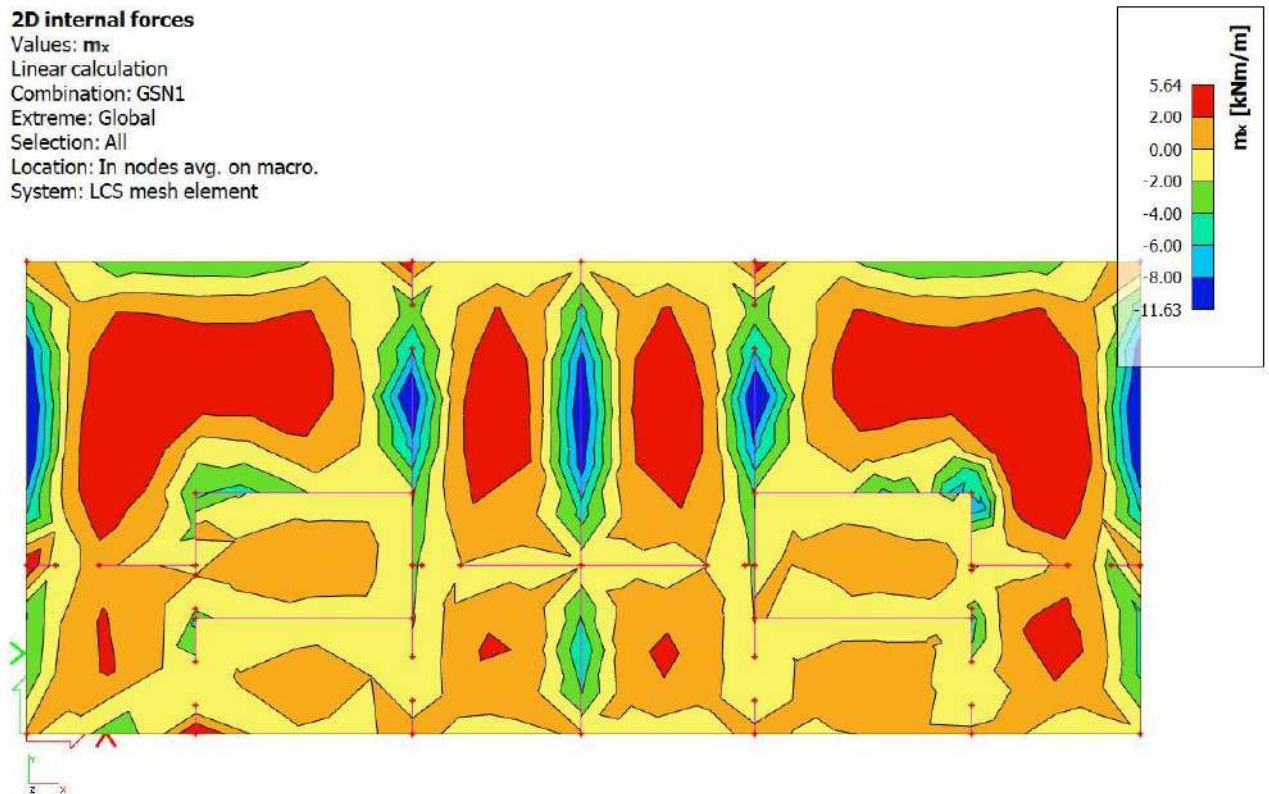
5.2.1. Prikaz modela i rezultata krovne ploče



Slika 5.13 Prikaz modela

2D internal forces

Values: m_x
Linear calculation
Combination: GSN1
Extreme: Global
Selection: All
Location: In nodes avg. on macro.
System: LCS mesh element



Slika 5.14 Moment savijanja $M_{Ed,x}$ (kNm/m) za GSN-1

2D internal forcesValues: m_y

Linear calculation

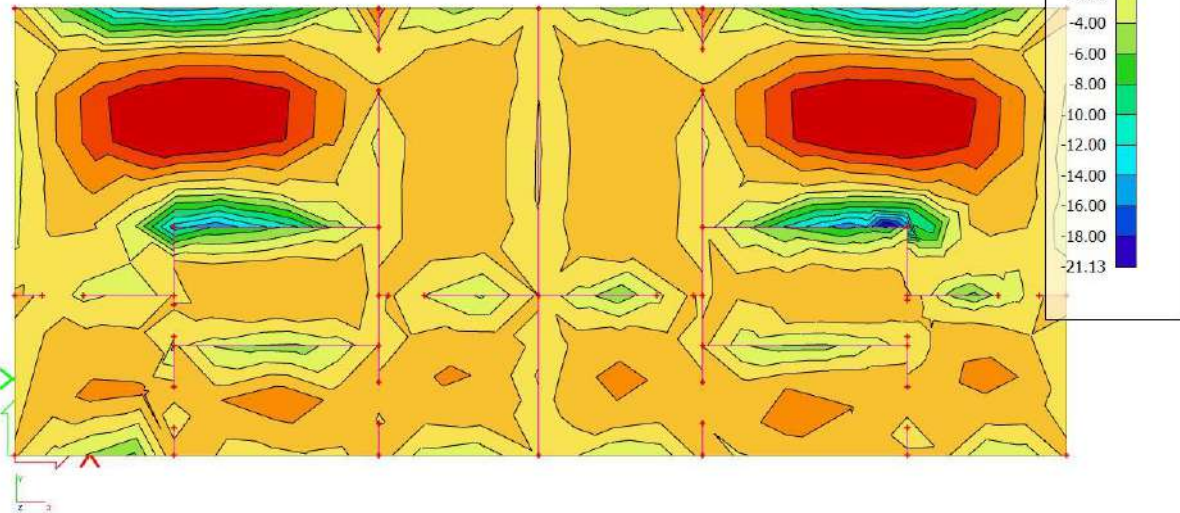
Combination: GSN1

Extreme: Global

Selection: All

Location: In nodes avg. on macro.

System: LCS mesh element

Slika 5.15 Moment savijanja $M_{Ed,y}$ (kNm/m) za GSN-1**2D internal forces**Values: m_{xy}

Linear calculation

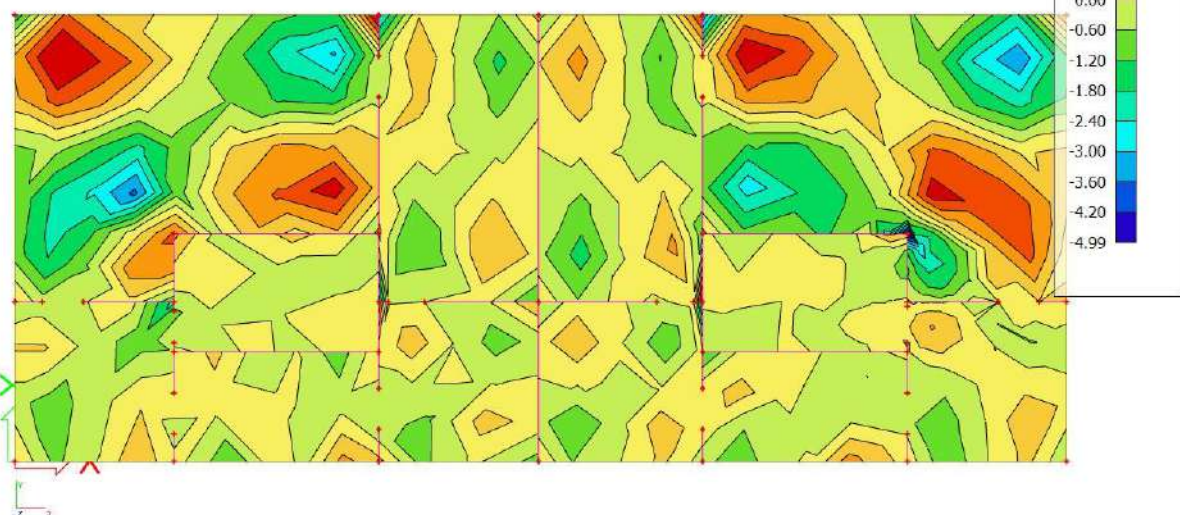
Combination: GSN1

Extreme: Global

Selection: All

Location: In nodes avg. on macro.

System: LCS mesh element

Slika 5.16 Moment savijanja $M_{Ed,xy}$ (kNm/m) za GSN-1

2D internal forcesValues: v_x

Linear calculation

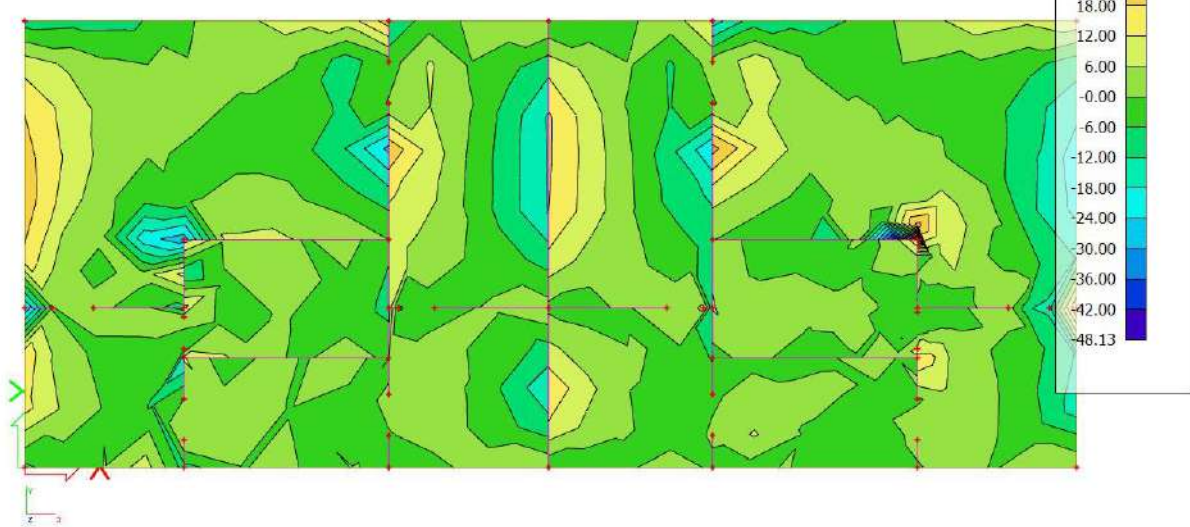
Combination: GSN1

Extreme: Global

Selection: All

Location: In nodes avg. on macro.

System: LCS mesh element

Slika 5.17 Poprečne sile $V_{Ed,x}$ (kN/m) za GSN-1**2D internal forces**Values: v_y

Linear calculation

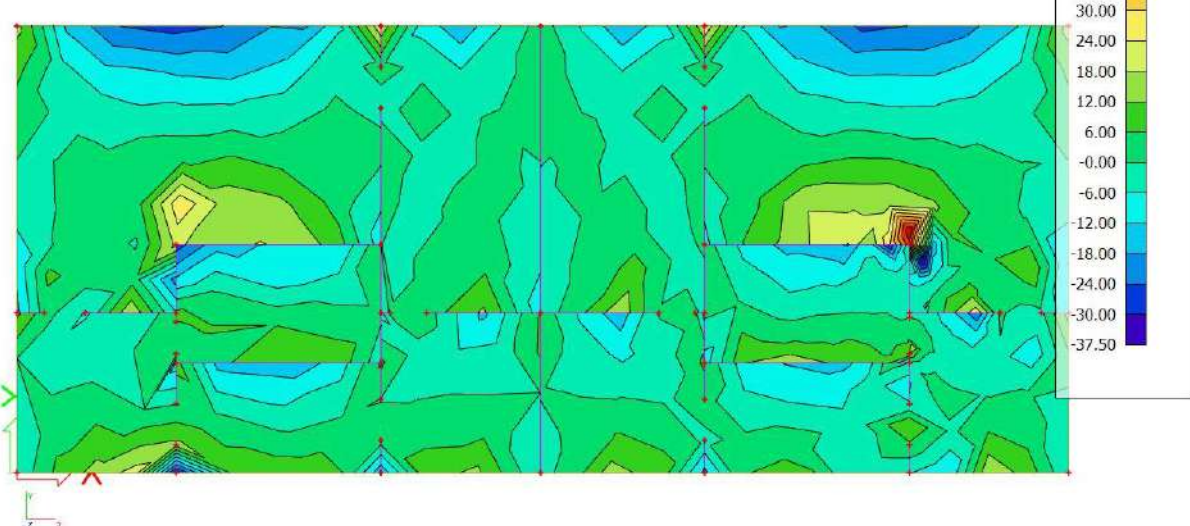
Combination: GSN1

Extreme: Global

Selection: All

Location: In nodes avg. on macro.

System: LCS mesh element

Slika 5.18 Poprečne sile $V_{Ed,y}$ (kN/m) za GSN-1

2D internal forcesValues: m_x

Linear calculation

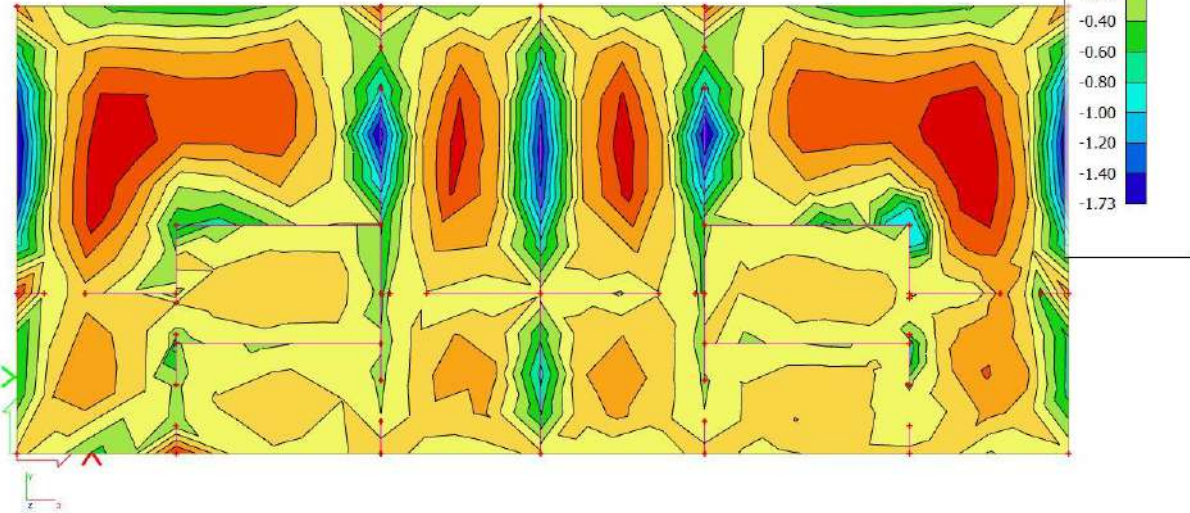
Combination: AS

Extreme: Global

Selection: All

Location: In nodes avg. on macro.

System: LCS mesh element

Slika 5.19 Potrebna površina armature A_s (cm^2/m) u x smjeru**2D internal forces**Values: m_y

Linear calculation

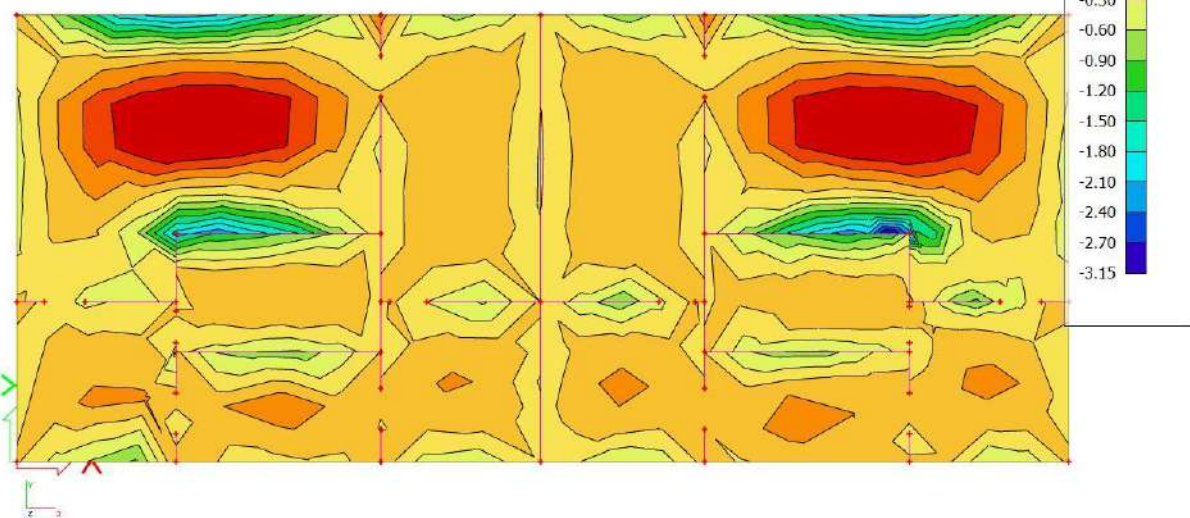
Combination: AS

Extreme: Global

Selection: All

Location: In nodes avg. on macro.

System: LCS mesh element

Slika 5.20 Potrebna površina armature A_s (cm^2/m) u y smjeru

Napomena: Dobivenu armaturu zbog preraspodjele umanjiti za 15% nad ležajem i povećati za 30% u polju.

Potrebna armatura na ležaju: $A_s = 3,15 \times 0,85 = 2,68 \text{ cm}^2 / \text{m}'$

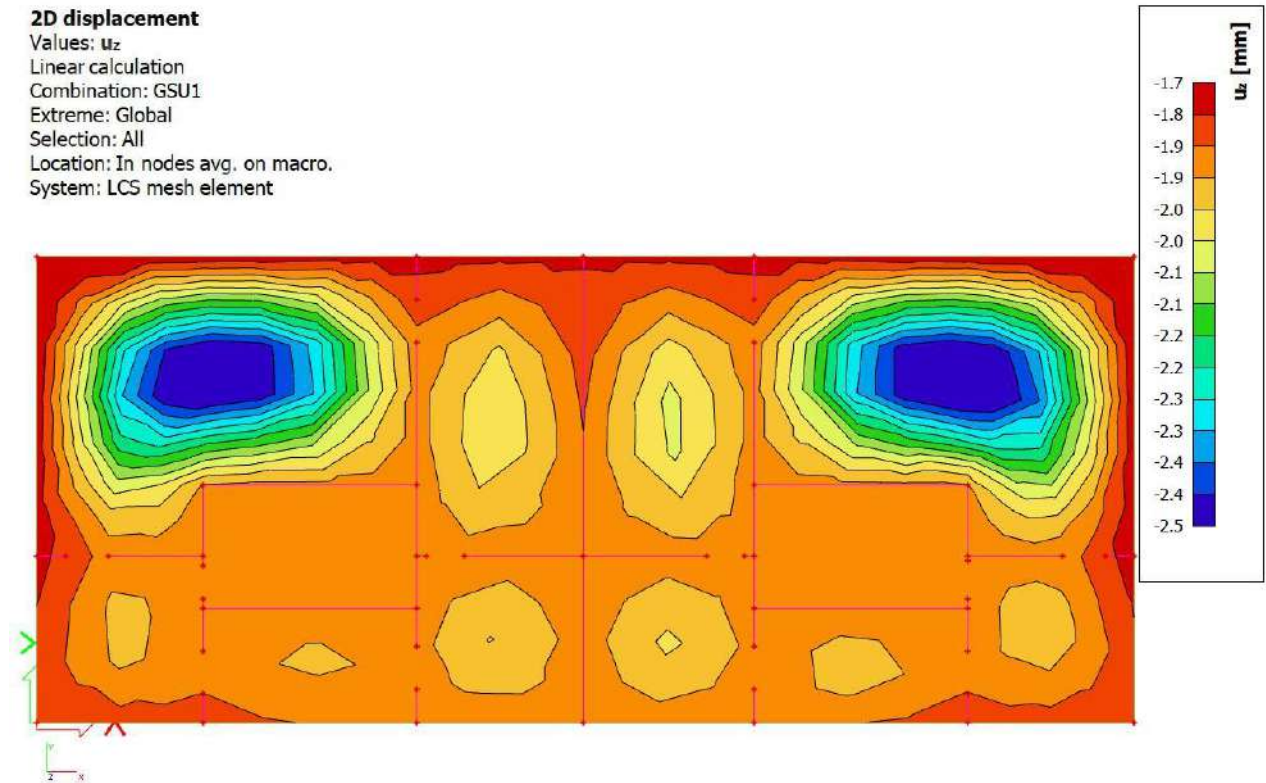
Potrebna armatura u polju: $A_s = 1,35 \times 1,30 = 1,76 \text{ cm}^2 / \text{m}'$

Odabrana armatura

Ležaj: Q- 283 ($2,83 \text{ cm}^2 / \text{m}'$)

Polje: Q- 196 ($1,96 \text{ cm}^2 / \text{m}'$)

5.2.2. Kontrola progiba



Slika 5.21 Progib ploče (mm) za kombinaciju GSU-1

Najveći progib iznosa je $2.5 - 1.7 = 0.8$ mm.

Dozvoljen progib $L/1000 = 4800/1000 = 4.8$ mm

Krovna ploča zadovoljava na progibe.

2D displacementValues: u_z

Linear calculation

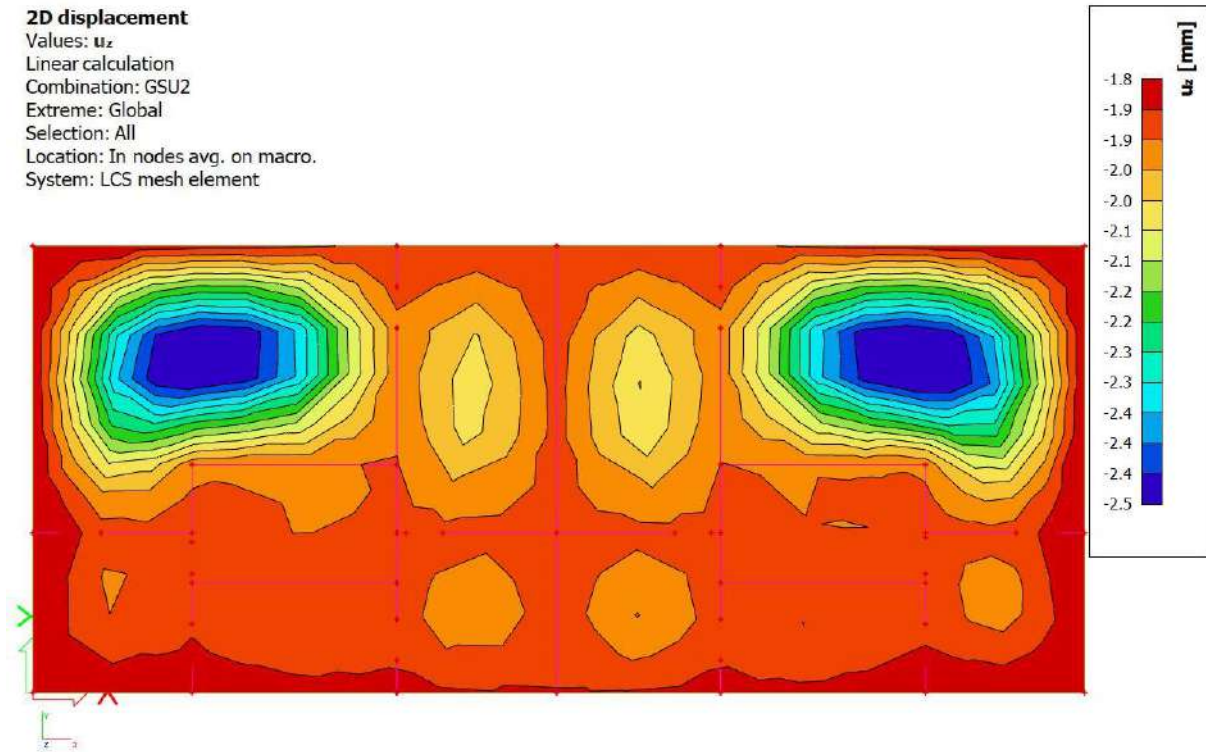
Combination: GSU2

Extreme: Global

Selection: All

Location: In nodes avg. on macro.

System: LCS mesh element



Slika 5.22 Progib ploče (mm) za kombinaciju GSU-2

Najveći progib iznosa je $2.5 - 1.8 = 0.7$ mm.

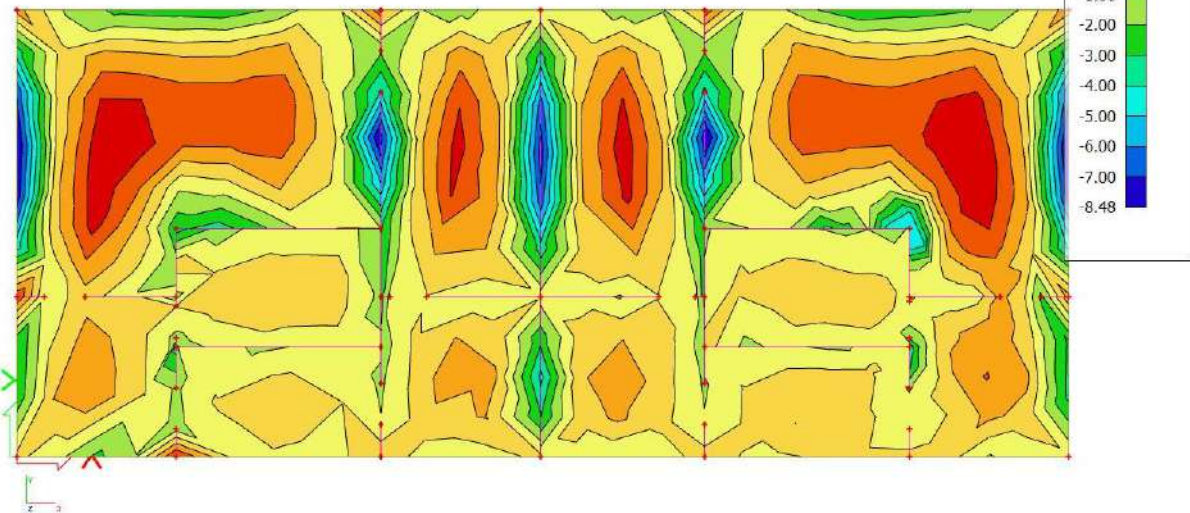
Dozvoljen progib $L/1000 = 4800/1000 = 4.8$ mm

Krovna ploča zadovoljava na progibe.

5.2.3. Kontrola pukotina

2D internal forces

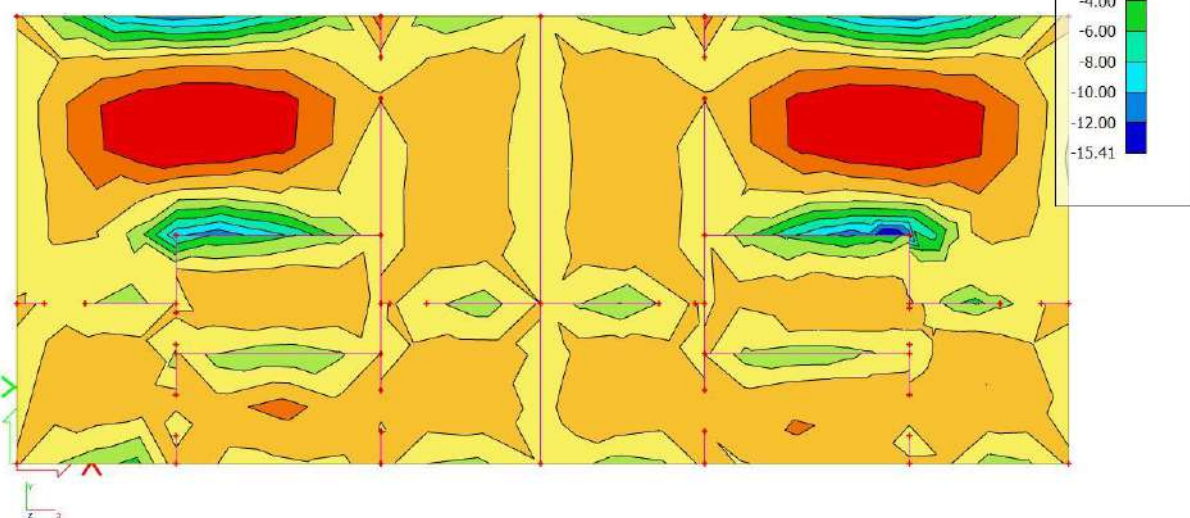
Values: m_x
 Linear calculation
 Combination: GSU1
 Extreme: Global
 Selection: All
 Location: In nodes avg. on macro.
 System: LCS mesh element



Slika 5.23 Moment savijanja $M_{Ed,x}$ (kNm/m) za GSU-1

2D internal forces

Values: m_y
 Linear calculation
 Combination: GSU1
 Extreme: Global
 Selection: All
 Location: In nodes avg. on macro.
 System: LCS mesh element



Slika 5.24 Moment savijanja $M_{Ed,y}$ (kNm/m) za GSU-1

Mjerodavni moment $M = 6.61 \text{ kNm/m}$

Prognozna širina pukotine:

$$w_k = s_{r,max} \cdot (\varepsilon_{sm} - \varepsilon_{cm})$$

Vrijednost $\varepsilon_{sm} - \varepsilon_{cm}$ određuje se prema izrazu :

$$\varepsilon_{sm} - \varepsilon_{cm} = \frac{\sigma_s - k_t \frac{f_{ct,eff}}{\rho_{p,eff}} (1 + \alpha_e \cdot \rho_{p,eff})}{E_s} \geq 0.6 \cdot \frac{\sigma_s}{E_s}$$

$$x = \frac{\alpha_{e1} \cdot A_{s1}}{b} \cdot \left(-1 + \sqrt{1 + \frac{2 \cdot b \cdot d}{\alpha_{e1} \cdot A_{s1}}} \right) = \frac{6.45 \cdot 1.96}{100} \cdot \left(-1 + \sqrt{1 + \frac{2 \cdot 100 \cdot 15.5}{6.45 \cdot 1.96}} \right) \\ = 1.86 \text{ cm}$$

$$\sigma_s = \frac{M_{Ed}}{z \cdot A_s} \approx \frac{M_{Ed}}{\left(d - \frac{x}{3}\right) \cdot A_s} = \frac{661}{\left(15.5 - \frac{1.86}{3}\right) \cdot 1.96} = 12.66 \frac{\text{kN}}{\text{cm}^2} = 126.64 \text{ MPa}$$

Za C 25/30 $\rightarrow f_{ct,eff} = 2.6 \text{ MPa}$

$A_{s1} = Q - 196 = 1.96 \text{ cm}^2$

$E_{cm} = 31.0 \text{ GPa} = 31\,000 \text{ MPa}$ – modul elastičnosti betona

$E_s = 200.0 \text{ GPa} = 200\,000 \text{ MPa}$ – modul elastičnosti armature

$\alpha_e = \frac{E_s}{E_{cm}} = \frac{200}{31} = 6.45$ – Odnos modula elastičnosti

Djelotvorni koeficijent armiranja glavnom vlačnom armaturom:

$$\rho_{p,eff} = \frac{A_s}{A_{c,eff}} = \frac{1.96}{100 \cdot (2.5 \cdot 2.5)} = 0.00314$$

$$\varepsilon_{sm} - \varepsilon_{cm} = \frac{126.64 - 0.4 \frac{2.6}{0.00314} (1 + 6.45 \cdot 0.00314)}{200000} \geq 0.6 \cdot \frac{126.64}{200000}$$

$$-0.0010 \geq 0.00038$$

$$\varepsilon_{sm} - \varepsilon_{cm} = 0.00038$$

Srednji razmak pukotina:

$$s_{r,max} = k_3 \cdot c + k_1 \cdot k_2 \cdot k_4 \cdot \frac{\phi}{\rho_{p,eff}} [mm]$$

$\phi = 5.0$ mm – Promjer šipke

$c = 20$ mm – Zaštitni sloj uzdužne armature

$k_1 = 0.8$ – Rebrasta armatura

$k_2 = 0.5$ – Savijanje

$k_3 = 3.4$

$k_4 = 0.425$

$$s_{r,max} = 3.4 \cdot 20 + 0.8 \cdot 0.5 \cdot 0.425 \cdot \frac{5}{0.00314} = 337.8 \text{ mm}$$

Karakteristična širina pukotina:

$$w_k = s_{r,max} \cdot (\varepsilon_{sm} - \varepsilon_{cm}) = 337.8 \cdot 0.00043 = 0.145 \text{ mm} < w_g = 0.3 \text{ mm}$$

Pukotine zadovoljavaju!

6. PRORAČUN ZIDOVA

6.1. Opći uvjeti

- Minimalna debljina: $b_{wo} \geq \max \{0.15 \text{ m}, h_s/20\}$, (h_s =svijetla katna visina)
- Ograničenje naprezanja u betonu (srednjeg tlačnog naprezanja) je:

$$v_d = N_{Ed}/A_c f_{cd} \leq 0.40 \text{ (klasa DCM), odnosno } \sigma_{c,Rd} \leq 0.40 * f_{cd}$$

N_{Ed} = uzdužna sila u proračunu potresne proračunske situacije

seizmička kombinacija za C25/30: $\sigma_{c,Rd,E} \leq 0.40 * (25/1.5) = 6.7 \text{ MPa}$

- Kritično područje:

$\min \{2L_w, h_s\} \geq h_{cr} \geq \max \{L_w, h_w/6\}$, (L_w =duljina zida, h_w =ukupna visina zida, h_s =svijetla katna visina)

- Minimalno armiranje:

na krajevima zida:

vertikalno: $\rho_{min} = 0.5\%$ od površine $A_c = L_c * b_w$ ($L_c = \max \{0.15 L_w, 1.5 b_w\}$)

spone: min $\phi 6$; max. razmak: $\min \{8d_{bL}, b_o/2, 175 \text{ mm}\}$ (d_{bL} =promjer vert. šipki; b_o =širina jezgre)

ostali dio zida:

vertikalno: $\rho_{min} = 0.2\%$

horizontalno: $\rho_{min} = 0.2\%$

spone: min $4\phi 6/m^2$

- Lagano armirani zidovi $L_w \geq \min \{4 \text{ m}, 2/3h_w\}$
- Najmanji omjer poprečne armature $\rho_{w,min}$ velikih slabo armiranih betonskih zidova:
 $\rho_{w,min} = 0.15 \cdot (f_{ct,m}/f_{yd})$.

$$\text{C 25/30 } (f_{ct,m}=2.6 \text{ MPa}); \text{ B 500B } (f_y=500 \text{ MPa}); \rho_{w,min} = 0.15 * (2.6/435) = 0.0009$$

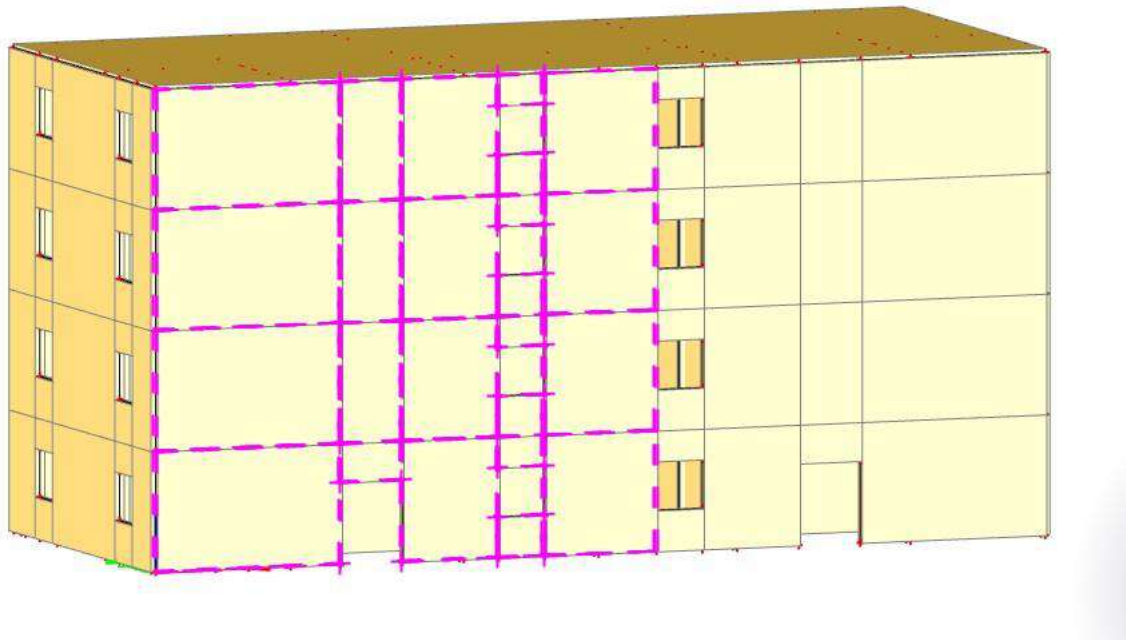
$$b_w=16 \text{ cm}; A_{s,min} = 0.0009 * 16 * 100/2 = 0.72 \text{ cm}^2/\text{m obostrano}$$

$$b_w=20 \text{ cm}; A_{s,min} = 0.0009 * 20 * 100/2 = 0.90 \text{ cm}^2/\text{m obostrano}$$

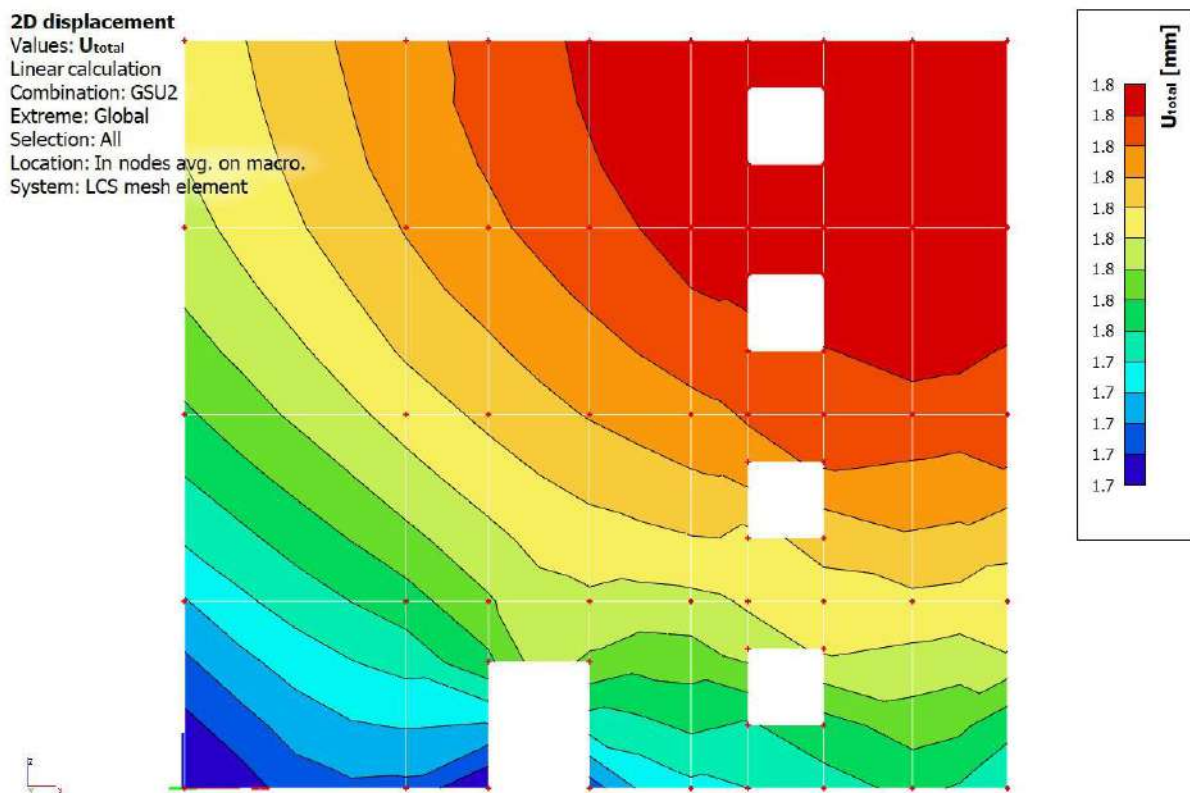
$$b_w=30 \text{ cm}; A_{s,min} = 0.0009 * 30 * 100/2 = 1.35 \text{ cm}^2/\text{m obostrano}$$

$$b_w=40 \text{ cm}; A_{s,min} = 0.0009 * 40 * 100/2 = 1.80 \text{ cm}^2/\text{m obostrano}$$

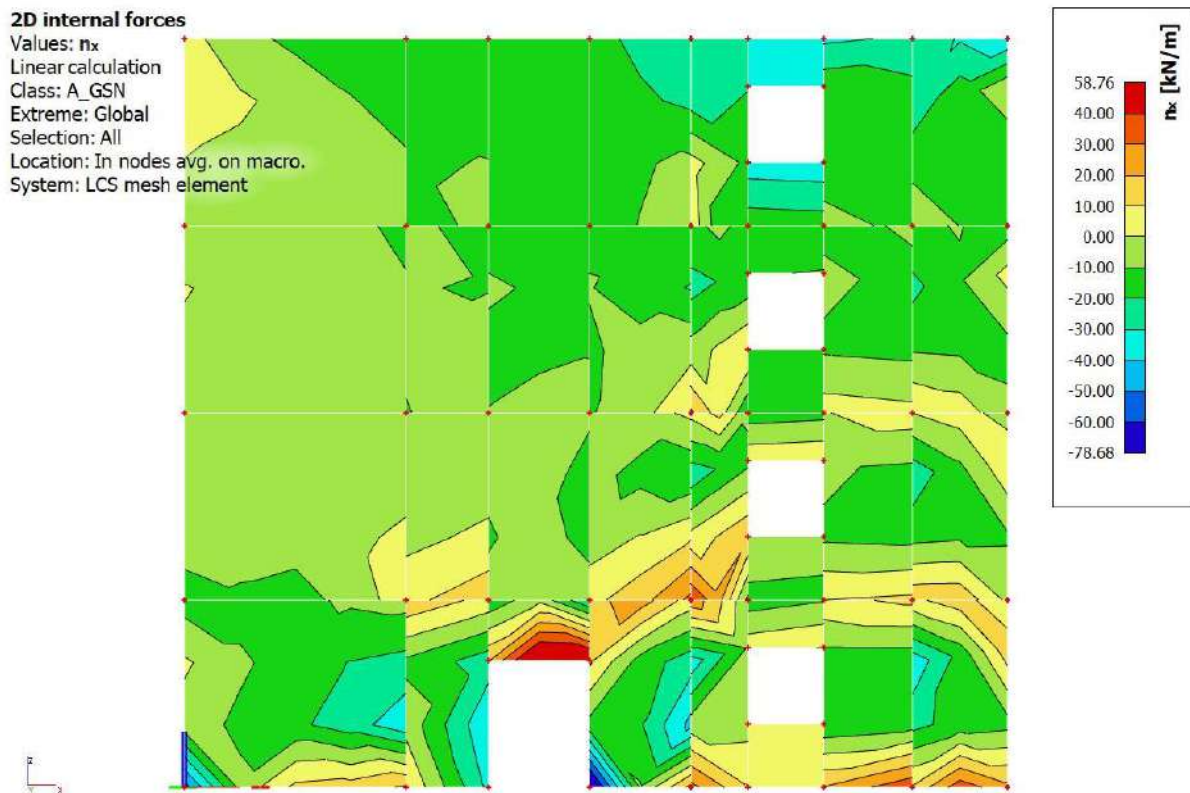
6.2. Prikaz modela i dijagrama



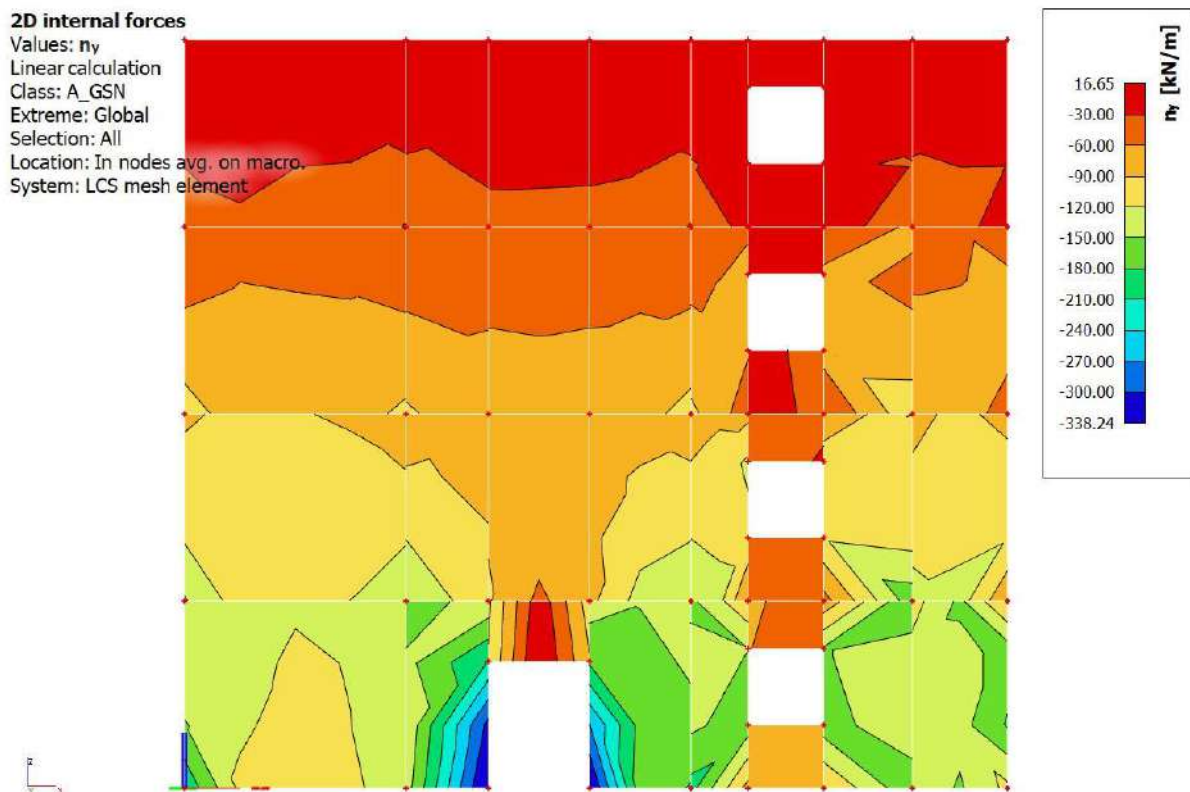
Slika 6.2.1 Položaj zida na kojem je izvršen proračun



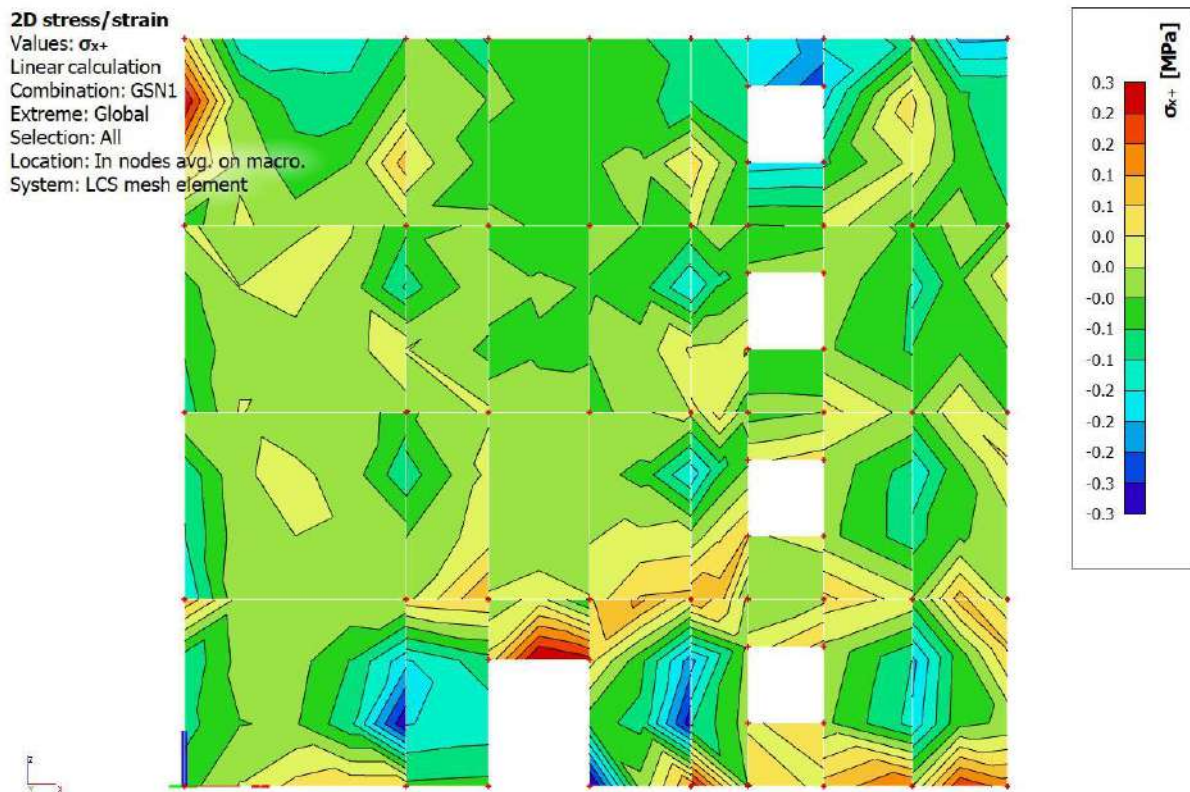
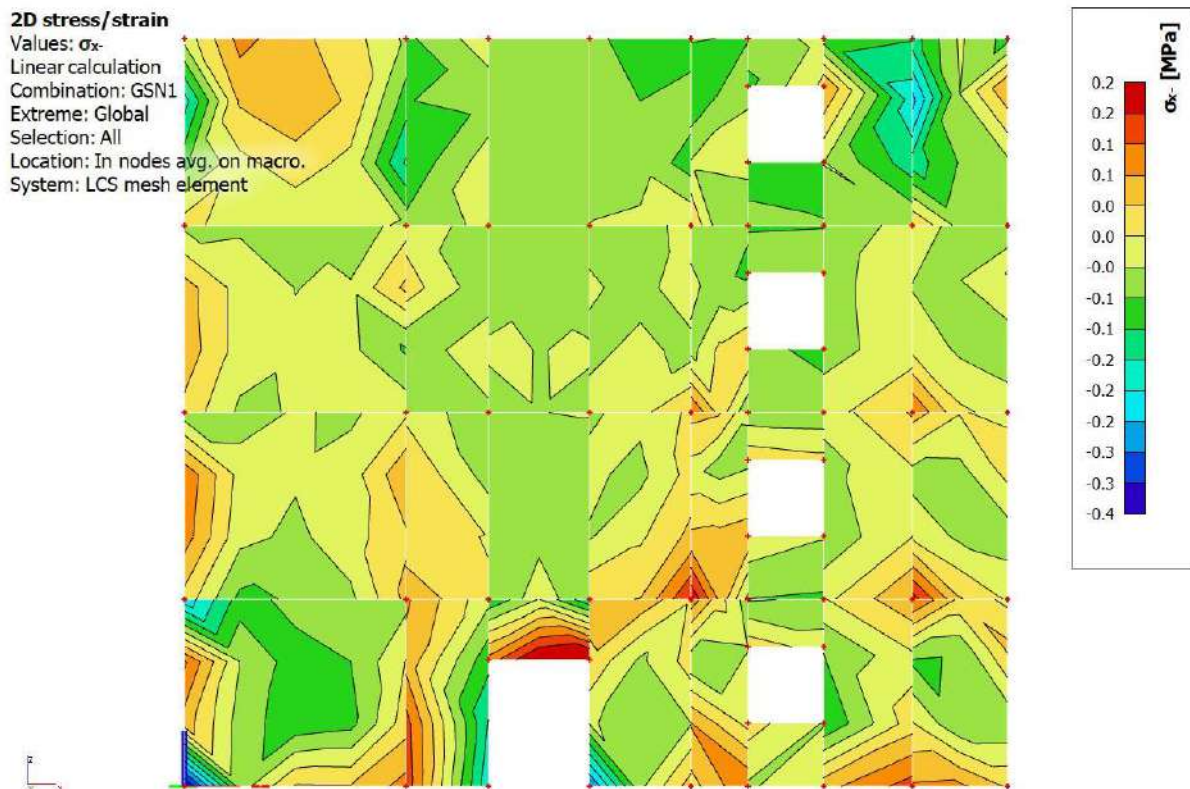
Slika 6.2.2 Pomaci (mm) za nazovistalnu kombinaciju GSU2

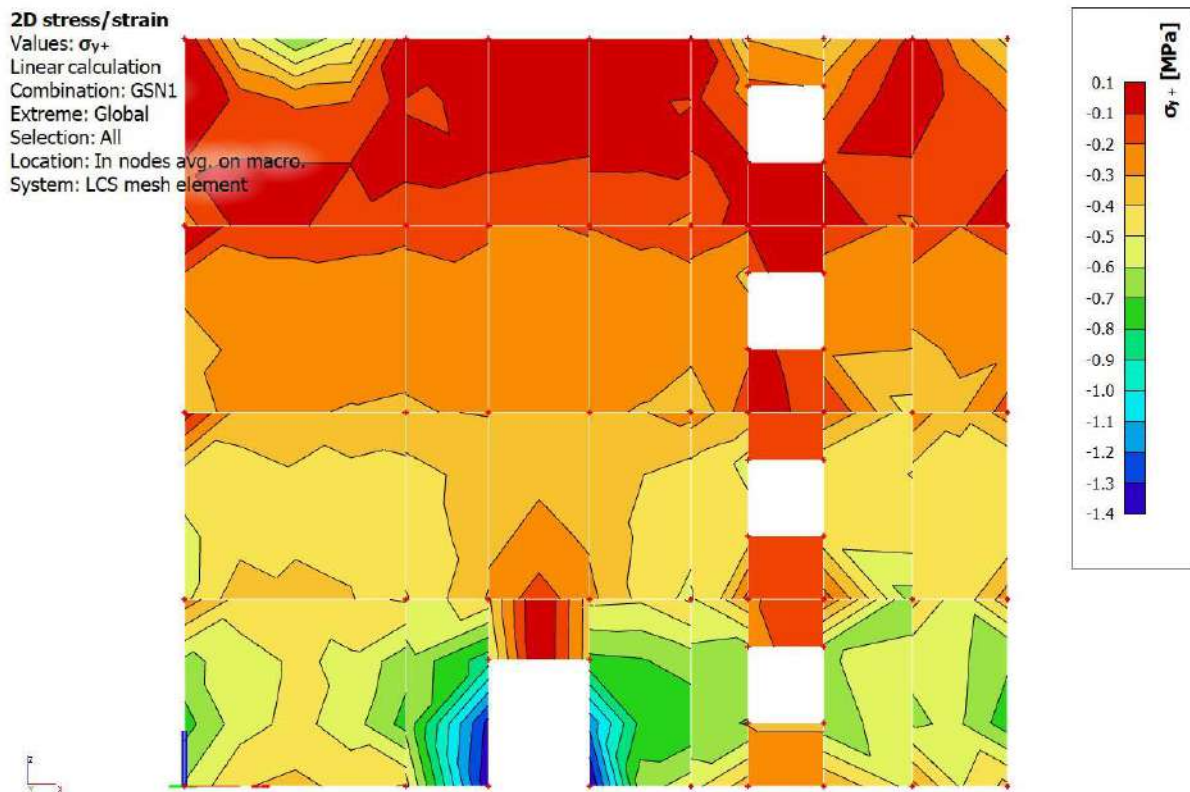


Slika 6.2.3 Uzdužne sile n_{Ed} [kN/m] u smjeru X, u zidovima za anvelopu GSN

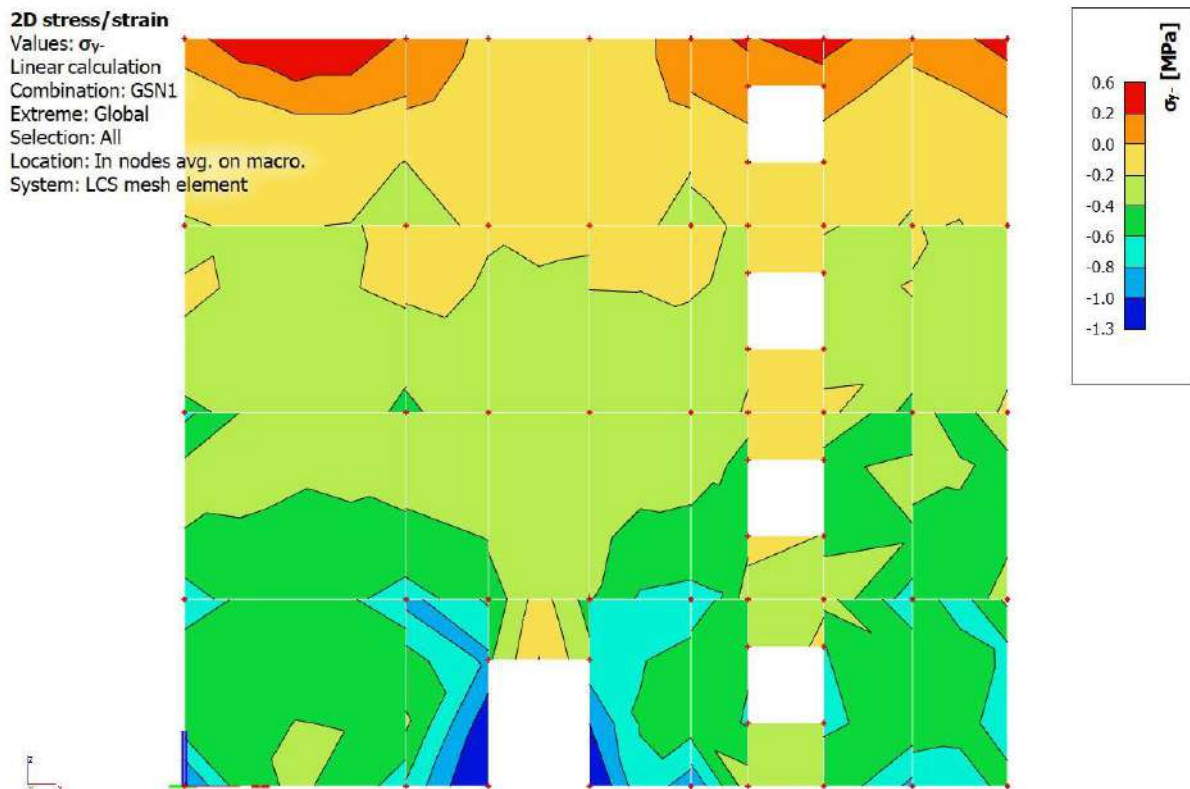


Slika 6.2.4 Uzdužne sile n_{Ed} [kN/m] u smjeru Y, u zidovima za anvelopu GSN1

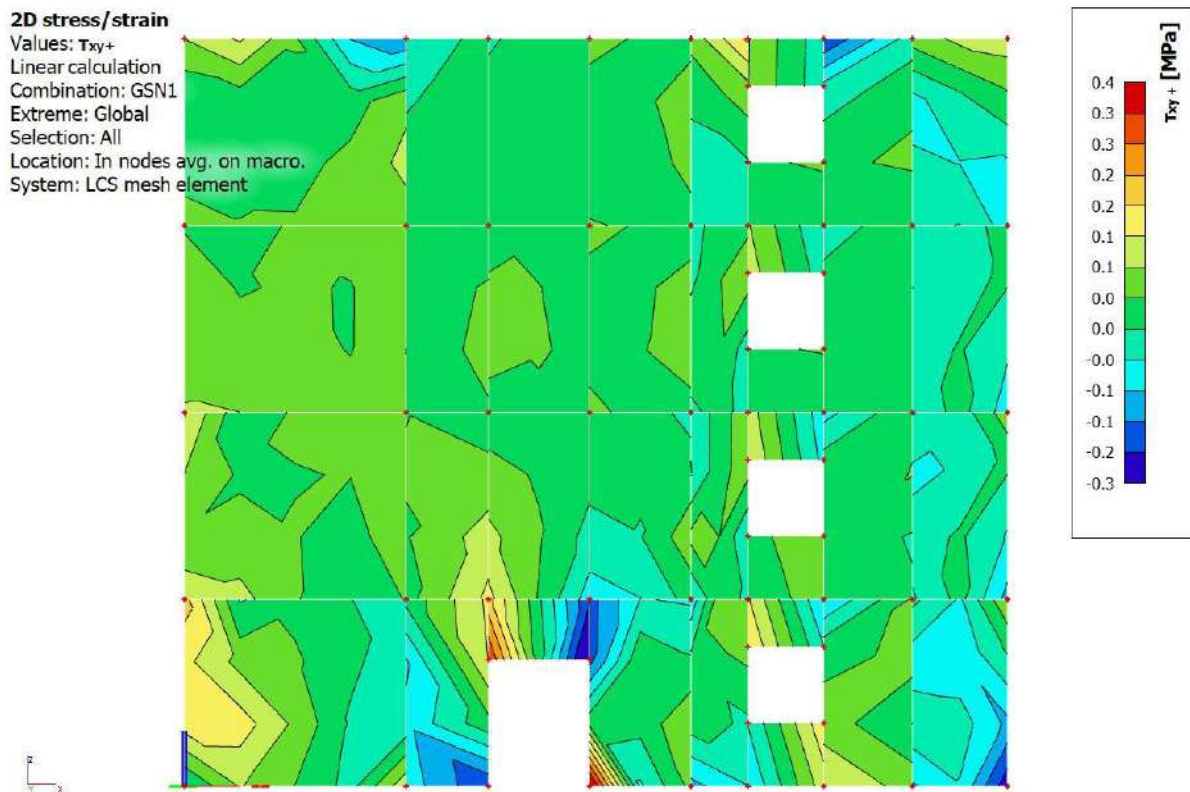
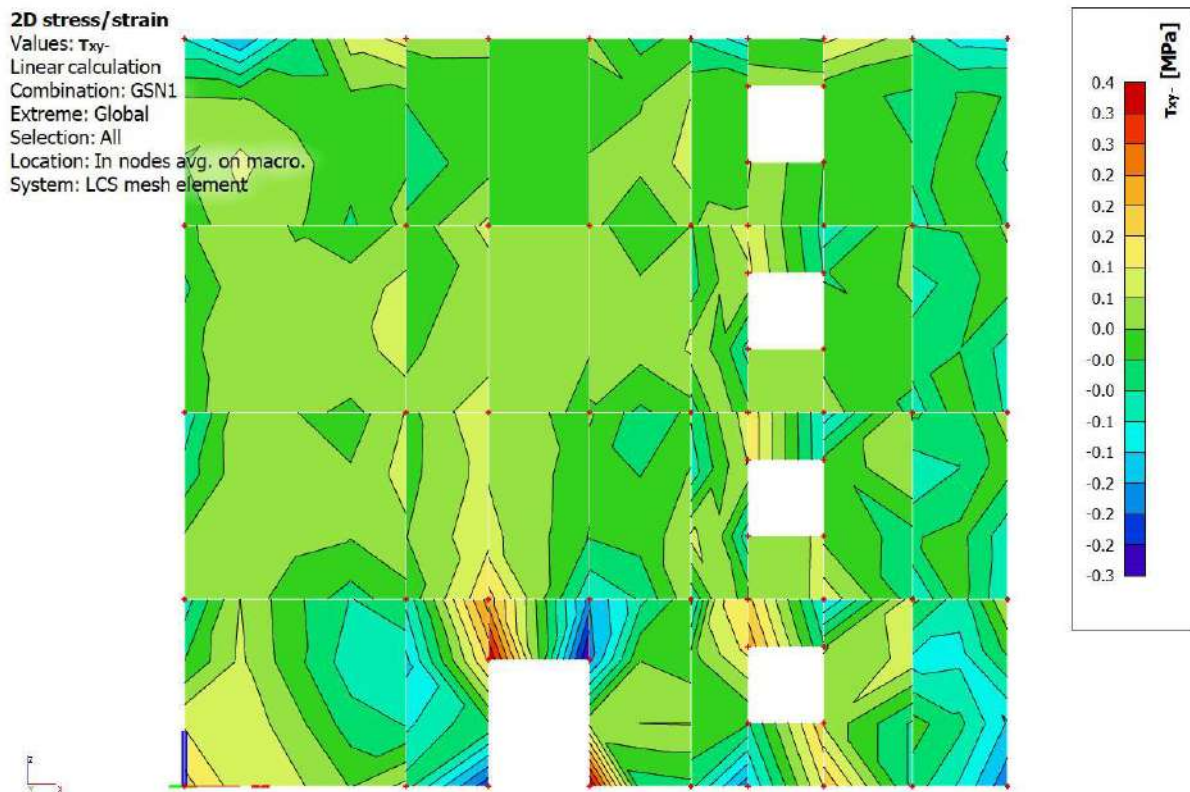
Slika 6.2.5 Naprezanja u zidu σ_{x+} za kombinaciju GSN-1Slika 6.2.6 Naprezanja u zidu σ_{x-} za kombinaciju GSN-1



Slika 6.2.7 Naprezanja u zidu σ_{y+} za kombinaciju GSN-1



Slika 6.2.8 Naprezanja u zidu σ_{y-} za kombinaciju GSN-1

Slika 6.2.9 Posmična naprezanja u zidu τ_{xy+} za kombinaciju GSN-1Slika 5.2.10 Posmična naprezanja u zidu τ_{xy-} za kombinaciju GSN-1

7. PRORAČUN TEMELJA

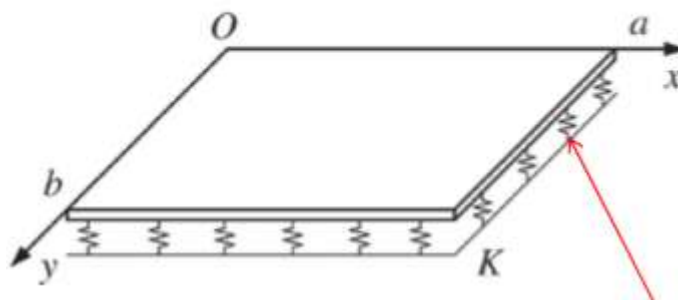
Kao što je navedeno u prethodnim poglavljima, građevina je temeljena s modelom trakastih temelja..

Osnovni problem modeliranja savitljivih konstrukcija je modeliranje međudjelovanja konstrukcija – tlo.

Rješenje savitljivih temeljnih konstrukcija analitičkom (zatvorenom) obliku u većini složenijih problema se rješava nekom od numeričkih metoda.

U rješavanju problema tlo se modelira na dva osnovna pristupa :

- Analiza u neprekidnoj sredini – proračun se vrši nekom od numeričkih metoda u kojoj se tlo modelira kao poluprostor. Potrebni podatci o tlu E i ν za linearno elastičan model.
- Međudjelovanje konstrukcija – tlo se modelira Winklerovim modelom (opruge). Koristi se linearan model s konstantnom krutošću ili model s promjenjivom krutošću. Ovaj pristup je približan jer se zanemaruje međusobni utjecaj pomaka različitih točaka u tlu.



Slika 7.1 Međudjelovanje konstrukcija – tlo modelirano Winkler- ovim modelom

U rješavanju problema koristio se Winklerovom model temeljenja.

Winklerov prostor samo približno opisuje deformacijske osobine temeljnog tla. Stišljivo tlo zamjenjujemo sustavom elastičnih pera, tako da je pomak točke na površini Winklerovog prostora linearno proporcionalnom reaktivnom pritisku:

$$W(x) = \frac{q(x)}{K}$$

K – koeficijent reakcije tla ($\text{kN/m}^2/\text{m}'$)

Koeficijent reakcije (odgovora) podloge – Winklerov koeficijent

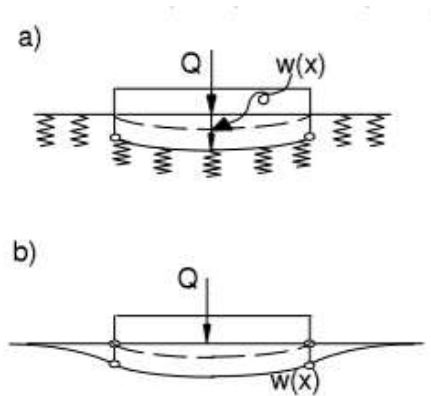
Koeficijent reakcije podloge K je odnos između dodirnog napreznja q kojim tlo odgovara na vanjsko opterećenje i slijeganja w , koje to isto napreznje izazove u tlu.

$$K = \frac{q}{w} \left[\frac{\text{kN}}{\text{m}^3} \right]$$

Vrijednost koeficijenta K ovisi o elastičnim svojstvima podloge i o veličini opterećene površine.

$$EI \cdot \frac{d^4 w}{dx^4} + K \cdot w(x) = p(x) + g$$

Uz korištenje rubnih uvjeta ovu diferencijalnu jednadžbu je moguće riješiti u zatvorenom obliku.



Slika 7.2 Winklerov model (a) i stvarni nosač (b)

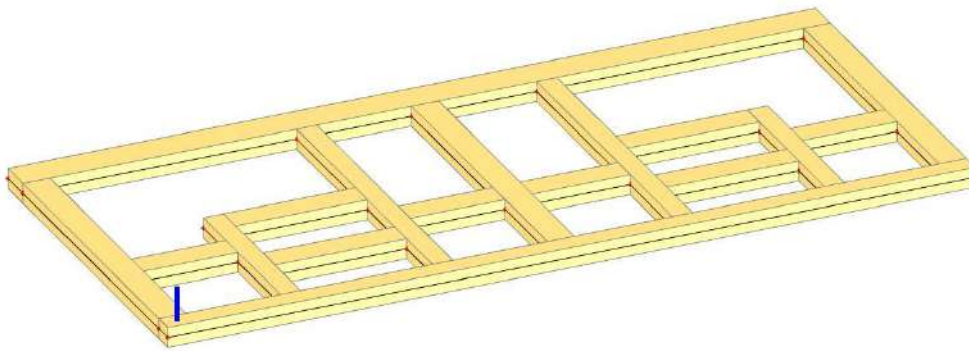
Nedostatci ovog modela :

- Opterećenje skraćuje samo ona pera na kojima greda izravno leži (zanemaruje se međusobni utjecaj)
- Na tlo se može prenijeti kao pritisak tako i zatezanje
- Određivanje koeficijenta reakcije tla (K) koji ovisi o intenzitetu opterećenja, obliku i veličini opterećene plohe , krutosti grede, svojstvima materijala grede, svojstvima temeljnog tla ispod grede

7.1. Proračun trakastih temelja

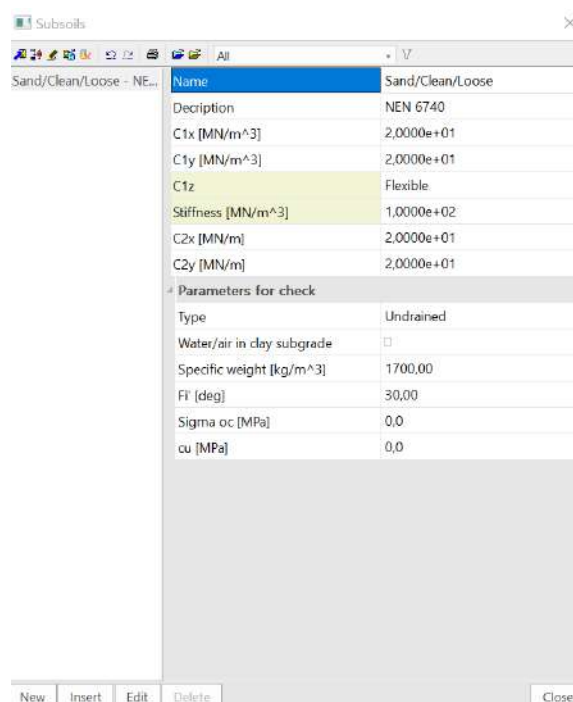
7.1.1. Model trakastih temelja

Temelji su modelirani kao gredni elementi, na kojima su postavljeni linijski ležajevi.



Slika 7.3 Model trakastih temelja

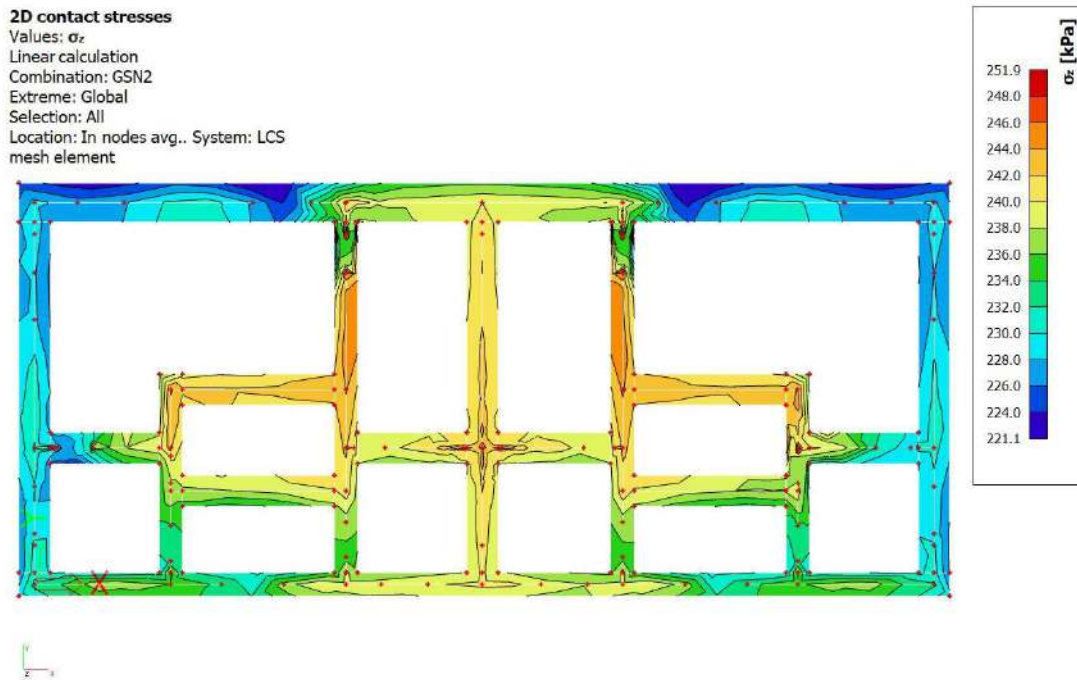
Kako bismo u model unijeli realnu stišljivost tla, linijske ležajeve ćemo modelirati kao fleksibilne kojima ćemo pomak u smjeru z zadati pomoću krutosti tla. Ostali pomaci i zaokreti su spriječeni.



Slika 7.4 Model fleksibilnih linijskih ležajeva

7.1.2. Proračun širine temeljne stope

Širine temeljnih stopa odabrali smo na način da nam zadovolje naprezanja koja nam tlo može prenijeti. Nosivost tla dobili smo iz geomehantičkog elaborata. Na osnovu geotehničkih istražnih radova dobiveni su rezultati za osovna opterećenja od 400 kPa.



Slika 7.5 Kontaktno naprezanje na mjestima oslanjanja zidova na temeljne trake u kombinaciji GSN2

Cilj proračuna je dobiti približno jednak omjer računске nosivosti i nosivosti tla, tako da slijeganje temelja bude što ujednačenije.

Vrijednost dopuštenog kontaktnog naprezanja je 300 kN/m^2 .

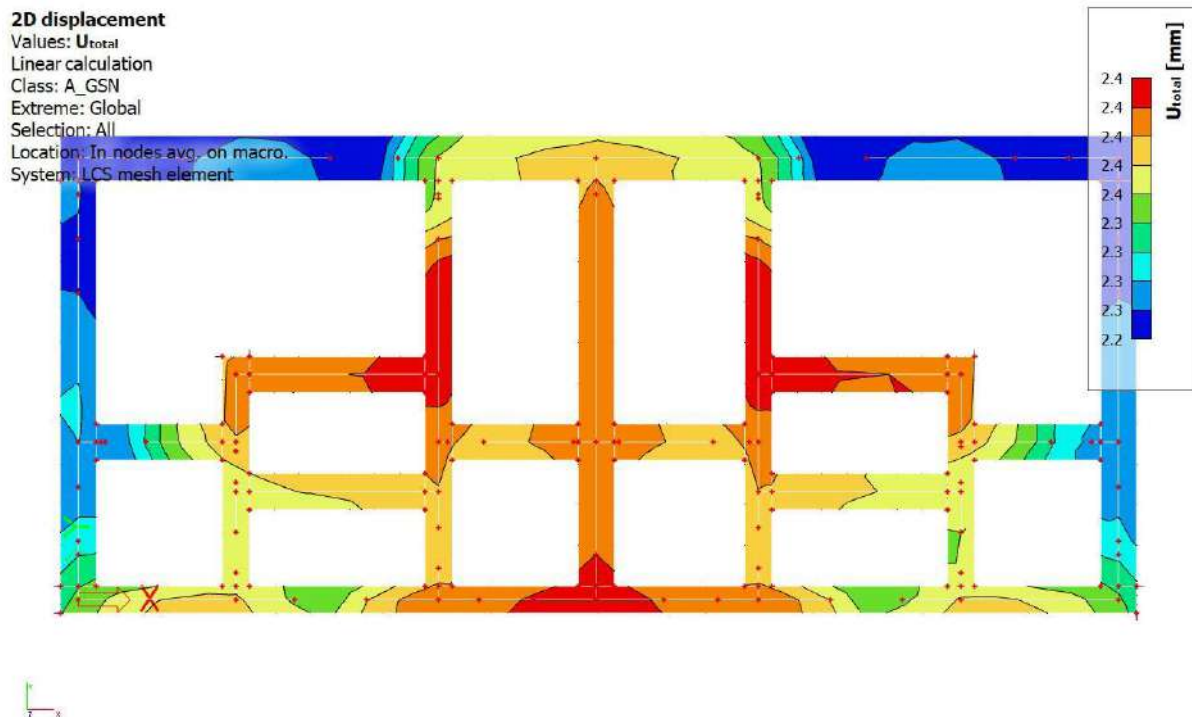
$$\sigma_{Ed} = 251.9 \text{ kN/m}^2$$

$$\frac{\sigma_{Ed}}{\sigma_{Rd}} = 0,84 = 84\%$$

Napomena: Visina svih temeljnih stopa je 0.6 metara.

7.1.3. Slijeganje građevine

Iz tablice je vidljivo da su naprezanja ispod temeljnih traka približno jednaka odnosno postignuto je ravnomjerno naprezanje na kontaktu temelja i nosivog tla. Ravnomjernim naprežanjem dobiva se ravnomjerno slijeganje temeljnog tla, na taj način izbjegava se pojava diferencijalnog slijeganja.



Slika 7.6 Slijeganje trakastih temelja za kombinaciju GSN

Na slici vidimo da se građevina ravnomjerno slegnula odnosno izbjegli smo pojavu diferencijalnog slijeganja.

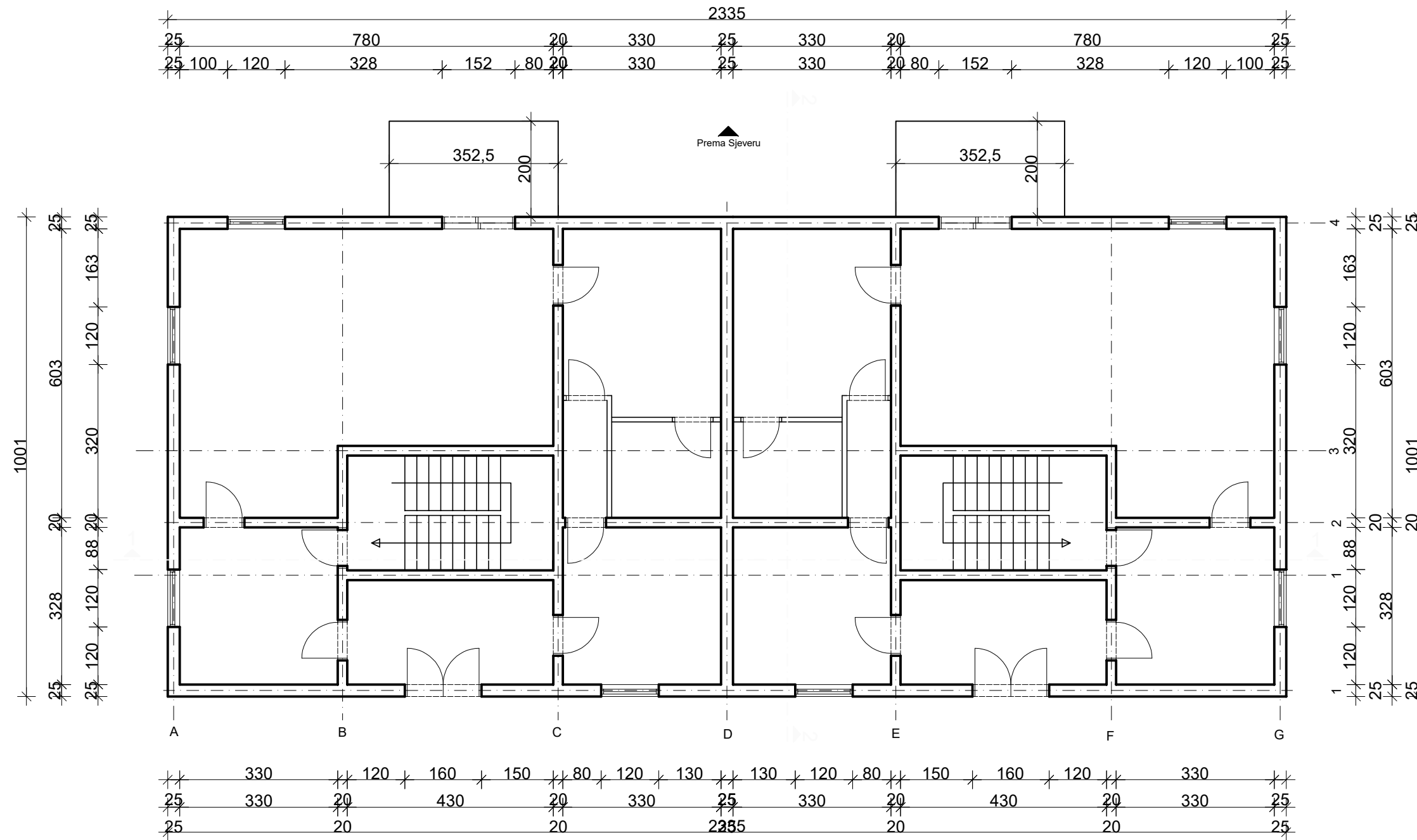
8. GRAFIČKI PRILOZI


Redom su priloženi:

- | | |
|--------------------------------|---------|
| - Tlocrt temelja | M 1:100 |
| - Tlocrt karakteristične etaže | M 1:100 |
| - Presjek 1-1 | M 1:100 |
| - Presjek 2-2 | M 1:100 |

TLOCRT KARAKTERISTIČNE ETAŽE

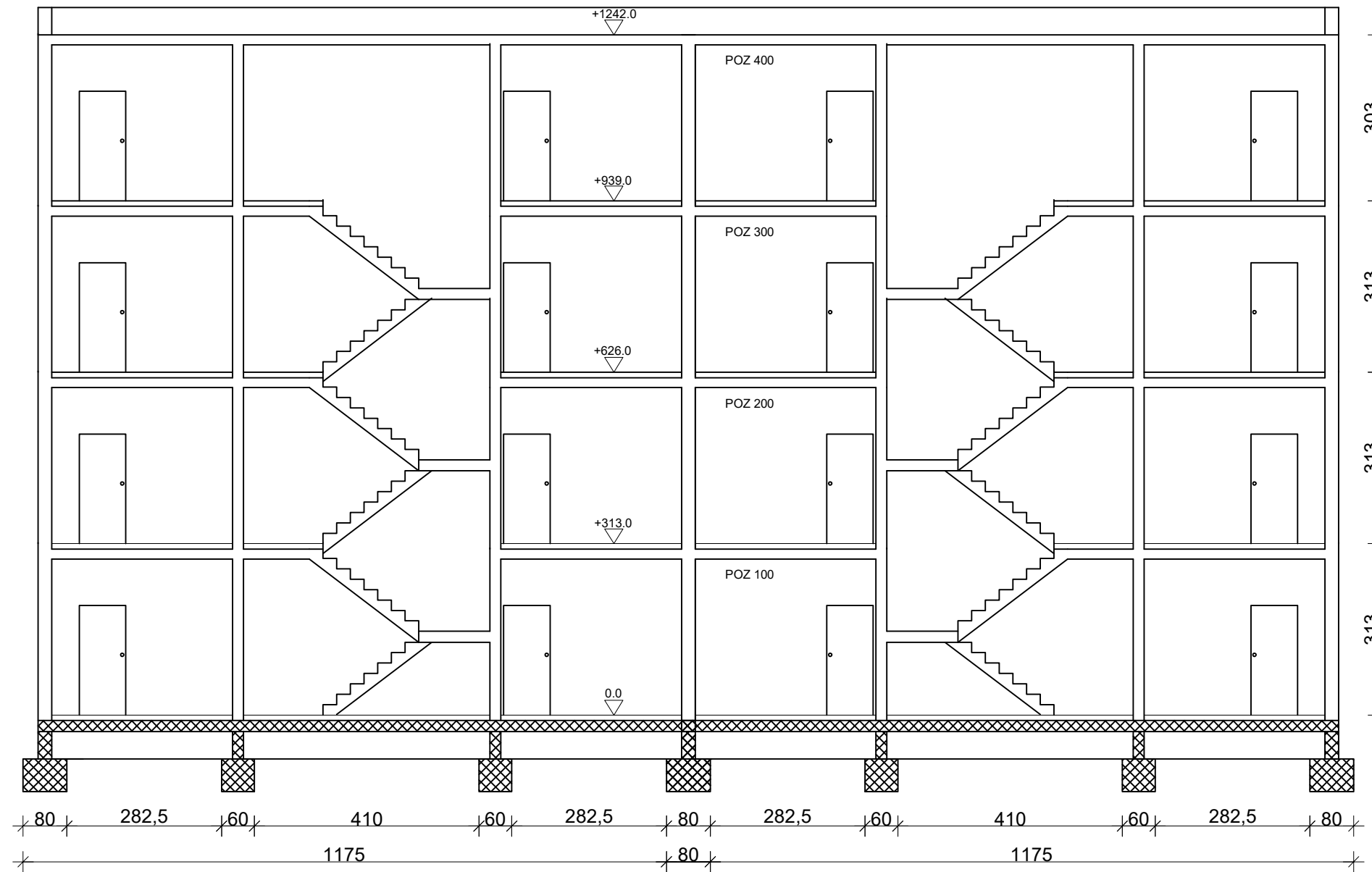
M 1:100



 Sveučilište u Splitu Fakultet Građevinarstva, Arhitekture i Geodezije 21000 SPLIT, MATICE HRVATSKE 15	Građevna statika I	
	TEMA: Statički proračun stambene zgrade	
	SADRŽAJ: Tlocrt karakteristične etaže	
	MJERILO: M 1:100	
STUDENTICA: Tena Vučetić	DATUM: 30.08.2022.	BROJ PRILOGA: 1

PRESJEK 1-1

M 1:100



Sveučilište u Splitu
Fakultet Građevinarstva, Arhitekture i Geodezije
21000 SPLIT, MATICE HRVATSKE 15

STUDENTICA:

Tena Vučetić

Građevna statika I

TEMA:
Statički proračun stambene zgrade

SADRŽAJ:
Presjek 1-1

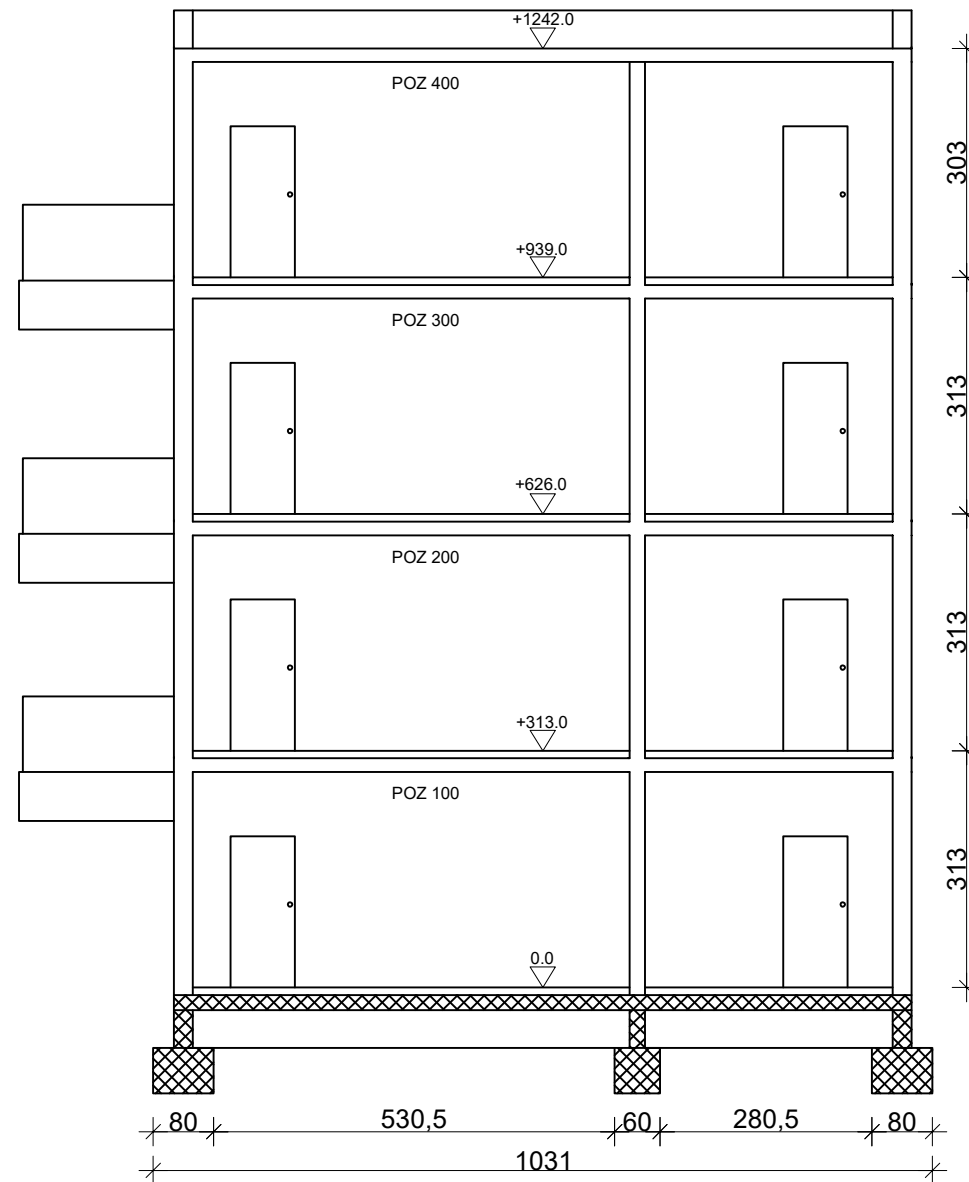
MJERILO:
M 1:100

DATUM:
30.08.2022.

BROJ PRILOGA:
2

PRESJEK 2-2

M 1:100



Sveučilište u Splitu
Fakultet Građevinarstva, Arhitekture i Geodezije
21000 SPLIT, MATICE HRVATSKE 15

STUDENTICA:

Tena Vučetić

Građevna statika I

TEMA:
Statički proračun stambene zgrade

SADRŽAJ:
Presjek 2-2

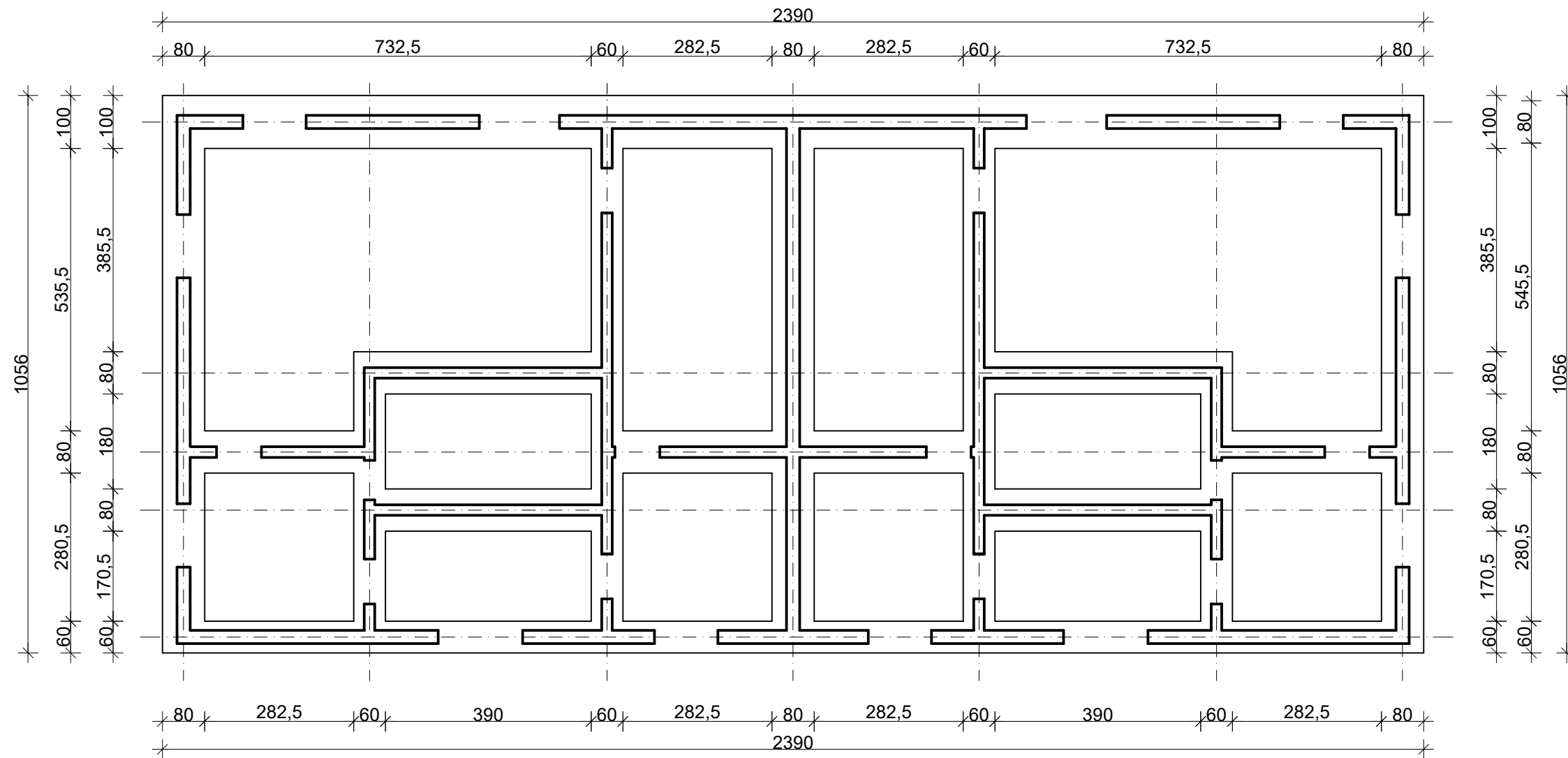
MJERILO:
M 1:100

DATUM:
30.08.2022.

BROJ PRILOGA:
3

TLOCRT TEMELJA

M 1:100



Sveučilište u Splitu
Fakultet Građevinarstva, Arhitekture i Geodezije
21000 SPLIT, MATICE HRVATSKE 15

STUDENTICA:

Tena Vučetić

Građevna statika I

TEMA:

Statički proračun stambene zgrade

SADRŽAJ:

Tlocrt karakteristične etaže

MJERILO:

M 1:100

DATUM:

30.08.2022.

BROJ PRILOGA:

4

LITERATURA

- Ante Mihanović, Boris Trogrlić, **Građevna statika I**, Sveučilište u Splitu, Fakultet građevinarstva, arhitekture i geodezije, Split 2011.
- Ante Mihanović, Boris Trogrlić, **Građevna statika II**, Sveučilište u Splitu, Fakultet građevinarstva, arhitekture i geodezije, Split 2011.
- Jure Radnić, Alen Harapin, **Osnove betonskih konstrukcija**, interna skripta, Sveučilište u Splitu, Fakultet građevinarstva, arhitekture i geodezije, Split 2015.